

(84) 指定国(表示のない限り、全ての種類の広域保護が可能): ARIPO (BW, CV, GH, GM, KE, LR, LS, MW, MZ, NA, RW, SC, SD, SL, ST, SZ, TZ, UG, ZM, ZW), ユーラシア (AM, AZ, BY, KG, KZ, RU, TJ, TM), ヨーロッパ (AL, AT, BE, BG, CH, CY, CZ, DE, DK, EE, ES, FI, FR, GB, GR, HR, HU, IE, IS, IT, LT, LU, LV, MC, ME, MK, MT, NL, NO, PL, PT, RO, RS, SE, SI, SK, SM, TR), OAPI (BF, BJ, CF, CG, CI, CM, GA, GN, GQ, GW, KM, ML, MR, NE, SN, TD, TG).

添付公開書類:

一 国際調査報告 (条約第21条(3))

(57) 要約: 被処理体の第1の表面の第1の領域に触媒材料を設置するステップであって、第1の表面は、フッ化物の沸点が550°C以下である元素で構成され、前記触媒材料は、極性官能基を有する有機化合物を含み、前記触媒材料は、断面視、相互に対向する第1の高さH1を有する第1の側面および第2の高さH2を有する第2の側面を有し、ただし、 $H1 > 0\mu\text{m}$ 、 $H2 \geq 0\mu\text{m}$ であり、かつ高さH1は、高さH2よりも高い、ステップと、波長が380nm以下の深紫外線を含む照射光を前記触媒材料に照射するステップと、80°C以上で、前記被処理体をフッ素含有ガスに暴露するステップと、を有する、方法。

明 細 書

発明の名称：

凹部構造を有する部材を製造する方法および凹部構造を有する部材

技術分野

[0001] 本発明は、凹部構造を有する部材を製造する方法および凹部構造を有する部材に関する。

背景技術

[0002] 試料の表面に微細な凹部構造を形成することができる微細加工技術は、様々な分野にニーズがある。微細加工技術として、これまでに様々な方法が提案され、実用化されている。

[0003] 微細加工技術の1つにドライエッチング法があり、この方法では、反応性の気体、イオン、および／またはラジカル等の反応体を用いて、試料の表面がエッチングされる。

[0004] 例えば、誘導結合型反応性イオンエッチング（ICP-RIE：Inductive Coupled Plasma-RIE）法に代表される、反応性イオンエッチング（RIE）法では、エッチングガスをプラズマ化させ、これを試料に衝突させることにより、エッチングが行われる。そのようなRIE法では、試料に対して極めて微細な加工が可能であることが報告されている（例えば、非特許文献1）。

先行技術文献

特許文献

[0005] 特許文献1：特開2012-42515号公報

非特許文献

[0006] 非特許文献1：xiao Li, King Yuk Chan and Rodica Ramer, "Fabrication of Through via Holes in Ultra-Thin Fused Silica Wafers for Microwave and Millime

ter-Wave Applications”, micromachines, 2018, 9, 138

発明の概要

発明が解決しようとする課題

- [0007] 微細加工技術の分野では、新たな光学部材の創生等の観点から、被処理体の表面に対して様々な形状の凹部構造が形成できることが好ましい。
- [0008] しかしながら、前述のR I E法では、複雑な形状の凹部構造を形成することは難しいという問題がある。
- [0009] 例えば、特許文献1には、前述のR I E法により、被処理体の表面の垂線に対して、延伸軸が斜めに傾斜した凹部構造の製造方法が記載されている。
- [0010] しかしながら、記載の方法では、R I E法のエッチング特性上、凹部構造の底面よりも開口側でエッチングが優先的に生じる。このため、開口付近で凹部構造が広がる傾向にあり、深さ方向に沿って均一な幅寸法を有する凹部構造を高精度に形成することは難しい。
- [0011] また、R I E法では、その特性上、被処理体の上部に配置されるマスク材も同時にエッチングされる。通常マスク材の断面は、直方体または台形の形状であるため、斜め方向からエッチングを実施した場合、マスク材の形状に変化が生じる。従って、この点からも、凹部構造の底面よりも開口側でエッチングが優先的に生じてしまうという問題がある。
- [0012] また、特許文献1に記載の方法では、深さ方向に沿って曲線形態を有する凹部構造を形成することは容易ではない。
- [0013] 本発明は、このような背景に鑑みなされたものであり、本発明では、比較的容易に、部材に所定の方向に偏向した凹部構造を形成することが可能な製造方法を提供することを目的とする。また、本発明では、そのような凹部構造を有する部材を提供することを目的とする。

課題を解決するための手段

- [0014] 本発明では、
凹部構造を有する部材を製造する方法であって、

(1) 被処理体の第1の表面の第1の領域に触媒材料を設置するステップであって、

前記第1の表面は、フッ化物の沸点が550℃以下である元素で構成され、

前記触媒材料は、極性官能基を有する有機化合物を含み、

前記触媒材料は、該触媒材料の断面視、すなわち前記第1の表面に対して垂直な断面で見たとき、相互に対向する第1の高さH1を有する第1の側面および第2の高さH2を有する第2の側面を有し、ただし、 $H1 > 0 \mu m$ 、 $H2 \geq 0 \mu m$ であり、かつ前記高さH1は、前記高さH2よりも高い、ステップと、

(2) 波長が380nm以下の深紫外線を含む照射光を前記触媒材料に照射するステップと、

(3) 80℃以上で、前記被処理体をフッ素含有ガスに暴露するステップと、
を有し、

前記(3)のステップの後に、前記第1の領域の下側に凹部構造が形成され、該凹部構造は、前記断面視、前記第1の領域の中心において、前記第1の表面から引いた垂線よりも前記第2の側面の側に偏向した形状を有する、方法が提供される。

[0015] また、本発明では、

第1の表面に凹部構造を有する部材であって、

前記第1の表面は、B、C、Si、P、S、Ti、V、Cr、Ge、As、Se、Nb、Mo、Tc、Ru、Rh、Sn、Sb、Te、I、Ta、W、Re、Os、Ir、Pt、およびAuからなる群から選定された、少なくとも1つの元素を含み、

前記凹部構造は、前記第1の表面に形成された開口、底面、および前記開口と前記底面をつなぐ側壁を有し、

前記凹部構造は、該凹部構造の断面視、すなわち前記第1の表面に対して

垂直な断面で見たとき、

曲線形状を有し、

前記開口の寸法 P_1 に対する前記底面の寸法 P_2 の比 P_2 / P_1 は、 0.99 以上、 1.1 未満の範囲であり、

前記底面の中心は、前記開口の中心から前記第 1 の表面に対して垂直な方向に延伸した延伸軸に対してずれている、部材が提供される。

発明の効果

[0016] 本発明では、比較的容易に、部材に所定の方向に偏向した凹部構造を形成することが可能な製造方法を提供することができる。また、本発明では、そのような凹部構造を有する部材を提供することができる。

図面の簡単な説明

[0017] [図1]有機化合物が極性官能基を有さない場合の、被処理体の第 1 の表面において生じ得る反応機構を模式的に示した図である。

[図2]有機化合物が極性官能基を有する場合の、被処理体の第 1 の表面において生じ得る反応機構を模式的に示した図である。

[図3]有機化合物が別の極性官能基を有する場合の、被処理体の第 1 の表面において生じ得る反応機構を模式的に示した図である。

[図4]ガラスのフッ化水素 (HF) ガスエッチングの際の処理温度とエッチング反応速度の関係を示した図である。

[図5]「基本エッチング技術」における一過程を模式的に示した断面図である。

[図6]「基本エッチング技術」における一過程を模式的に示した断面図である。

[図7]本発明の一実施形態による方法において、被処理体の第 1 の表面に触媒材料のパターンが設置された状態を模式的に示した断面図である。

[図8]本発明の一実施形態による方法において、被処理体の第 1 の表面においてエッチングが進行する状態を模式的に示した断面図である。

[図9]本発明の一実施形態による方法において、被処理体の第 1 の表面において

エッチングが進行する状態を模式的に示した断面図である。

[図10]本発明の一実施形態による凹部構造を有する部材を製造する方法のフローを概略的に示した図である。

[図11]本発明の一実施形態による凹部構造を有する部材を製造する方法において、被処理体に触媒材料が設置された様子を模式的に示した斜視図である。

[図12]図11のI-I線に沿った断面を模式的に示した図である。

[図13]本発明の一実施形態による凹部構造を有する部材を製造する方法において、エッチングプロセス後の被処理体の一例を模式的に示した断面図である。

[図14]本発明の一実施形態による部材の斜視図である。

[図15]図14に示した本発明の一実施形態による部材のII-II線に沿った模式的な断面図である

[図16]本発明の一実施形態による部材における凹部構造の側壁の表面の形態を模式的に示した図である。

[図17]本発明の一実施形態において形成された触媒材料の断面を模式的に示した図である。

[図18]本発明の一実施形態（サンプル1）による凹部構造の断面の一例を示した写真である。

[図19]本発明の一実施形態（サンプル2）による凹部構造の断面の一例を示した写真である。

[図20]本発明の一実施形態（サンプル3）による凹部構造の断面の一例を示した写真である。

[図21]本発明の一実施形態（サンプル4）による凹部構造の断面の一例を示した写真である。

発明を実施するための形態

[0018] 以下、本発明の一実施形態について説明する。

[0019] （基本エッチング技術）

前述のように、従来のR I E法では、深さ方向に沿って複雑な形状を含む凹部構造を有する部材を製造することは難しいという問題がある。

[0020] このような従来の問題に対処するため、本願発明者らは鋭意研究開発を実施し、深さ方向に沿って複雑な形状、特に曲線形状を有する凹部構造を形成できる微細加工技術を見出した。

[0021] ここで、本発明の一実施形態による部材の製造方法をより良く理解するため、まず、本願発明者らによってこれまでに開発された微細加工技術（以下、「基本エッチング技術」と称する）について説明する。

[0022] 基本エッチング技術では、第1の表面に触媒材料が設置された被処理体を、80℃以上の処理温度で、フッ素含有ガスに暴露するプロセス（以下、「エッチングプロセス」と称する）を有する。後に詳しく説明するように、このような「エッチングプロセス」を実施することにより、基本エッチング技術では、被処理体の第1の表面において、触媒材料が設置されている領域（以下、「被覆領域」と称する）を選択的にエッチングすることができる。

[0023] また、基本エッチング技術では、被処理体に対してエッチングプロセスを実施する前に、特定の照射光を触媒材料に照射することにより、その後のエッチングプロセスでのエッチング速度が制御される。

[0024] ここで、基本エッチング技術における触媒材料の役割および処理温度の効果について、説明する。

[0025] なお、以下の記載は、現時点で考察されるメカニズムに基づくものであるが、実際の現象は、その他のメカニズムで生じていてもよい。

[0026] （触媒材料の役割）

基本エッチング技術では、触媒材料は、極性官能基を有する有機化合物を有する。そのような極性官能基を有する有機化合物は、被処理体の表面でのフッ化物形成の活性化エネルギーを下げる役割を有すると考えられる。

[0027] 以下、図1～図3を用いて、この役割について説明する。図1～図3には、触媒材料が設置された被処理体の表面での反応の様子を模式的に示す。

[0028] なお、以下の説明では、一例として、被処理体は、SiO₂とし、被処理体

の被処理表面（第1の表面）は、水素終端化されていると仮定する。

[0029] まず、図1には、有機化合物が極性官能基を有さない場合の、被処理体の第1の表面において想定されるエッチング機構を模式的に示す。

[0030] 被処理体である SiO_2 の表面において、触媒材料が設置されている領域、すなわち「被覆領域」に環境からフッ化水素（HF）ガスが供給された場合、（i）に示すように、HF分子（a）がSi原子（b）に対して求核攻撃する。

[0031] ただし、被処理体の表面でSi原子（b）がF原子と反応するためには、（ii）に示すように、表面のOH基（c）がHF分子（a）のH原子と相互作用して、H-F結合を弱める必要がある。すなわち、HF分子（a）におけるH-F結合を切断するようなエネルギーが提供されなければ、（iii）に示すような、 H_2O （g）の脱離を伴うSi-Fの結合（d）は生じない。

[0032] しかしながら、本反応系では、Si-Fの結合（d）の活性化エネルギーの低下に寄与する物質は存在しない。そのため、被覆領域において、有意なエッチング反応は、進行しない。

[0033] なお、この系では、通常のマスクパターン処理のように、被処理体がHFガスと直接接触する部分、すなわち表面の触媒材料が設置されていない領域（以下、「非被覆領域」と称する）の方が、エッチング速度が高まる傾向となる。

[0034] 一方、図2には、有機化合物が極性官能基を有する場合の、被処理体の第1の表面での反応機構を模式的に示す。ここでは、極性官能基として、ヒドロキシ基を想定している。

[0035] この場合も、触媒材料の被覆領域に環境からHFガスが供給された場合、（i）に示すように、HF分子（a）がSi原子（b）に対して求核攻撃する。

[0036] ただし、今度の場合、これに加えて、極性官能基の $-\delta$ 部（e）のO原子が、HF分子（a）のHと相互作用する。また、極性官能基の $+\delta$ 部（f）

のH原子が、表面のOH基（c）と相互作用する。

[0037] 従って、（i i）に示すように、HF分子（a）のH-F結合が弱められる。また、Si（b）-OH（c）の結合も弱められる。これにより、Si原子とF原子の結合反応に必要な活性化エネルギーが低下する。

[0038] その結果、（i i i）に示すように、極性官能基の $-\delta$ 部（e）のO原子により、HF分子（a）のH原子が奪われるとともに、 $+\delta$ 部（f）のH原子が表面のOH基と反応して、 H_2O （g）の脱離が生じる。

[0039] これにより、Si原子（b）がフッ素原子と結合される。最終的に、以下の反応式（1）により、 SiF_4 および H_2O が形成される。



反応で生じた SiF_4 および H_2O は、いずれも処理温度では気体であり、速やかに系外に逸散される。

[0040] 以上の反応機構により、被処理体において、触媒材料の被覆領域の直下が選択的にエッチングされる。

[0041] なお、上記の反応は、極性官能基がヒドロキシ基を含む場合に限られない。例えば、極性官能基が、アルデヒド基、ヒドロキシ基、カルボキシ基、アミノ基、スルホ基、チオール基、およびアミド結合の少なくとも1つを有する場合も、同様の反応が生じ得る。

[0042] また、図2では、有機化合物の極性官能基がH原子を含む場合を例に、その反応機構を説明した。しかしながら、有機化合物の極性官能基は、必ずしもH原子を有するものに限られない。

[0043] 図3には、有機化合物が別の極性官能基を有する場合の反応機構を模式的に示す。ここでは、極性官能基として、H原子を有さないカルボニル基（ $>C=O$ ）を想定している。

[0044] この例においても、触媒材料の被覆領域に環境からHFガスが供給された場合、（i）に示すように、HF分子（a）がSi原子（b）に対して求核

攻撃する。また、極性官能基の $-\delta$ 部 (e) のO原子が、HF分子 (a) のH原子と相互作用する。

[0045] これにより、(i i) に示すように、HF分子 (a) のH-F結合が弱められる。

[0046] 次に、(i i i) に示すように、極性官能基の $-\delta$ 部 (e) のO原子によりHF分子 (a) から離脱したH原子は、OH基 (c) と結合し、 H_2O (g) が生成される。

[0047] このように、この場合も、Si原子とF原子の結合反応に必要な活性化エネルギーが低下する。その結果、前述の反応式(1)に示した反応が生じ、被処理体において、被覆領域の直下が選択的にエッチングされる。

[0048] 同様の反応機構は、例えば、極性官能基がカルボニル基、ニトロ基、シアノ基、エーテル結合、およびエステル結合の少なくとも1つを有する場合も、生じ得る。

[0049] このように、基本エッチング技術では、触媒材料に含まれる極性官能基を有する有機化合物の存在により、被処理体の被覆領域においてフッ化物生成反応が促進され、被覆領域の直下を選択的にエッチングすることができる。

[0050] (処理温度の影響)

次に、処理温度の影響について説明する。

[0051] 基本エッチング技術では、処理温度は、 80°C 以上である。これは、 80°C 未満では、被処理体の第1の表面において、被覆領域と非被覆領域との間に、適正なエッチング選択性が生じないためである。

[0052] 以下、図4を参照して、処理温度の影響をより詳しく説明する。

[0053] 図4には、本願発明者らにより取得された、ガラスのフッ化水素(HF)ガスエッチングの際の処理温度とエッチング反応速度の関係を示す。

[0054] 図4から、ガラスのエッチング速度は、処理温度が 80°C までは、温度に対して徐々に増加する。ただし、処理温度が 80°C 以上になると、エッチング速度は、急激に減少する。その結果、エッチング速度は、 80°C 未満の温度でピークを示す。

[0055] この現象は、HFガスの会合／非会合状態に対応していると考えられる。すなわち、HFガスは、80℃未満では、会合状態にあるが、80℃以上では、非会合（単体）状態となる。また、HFガスが会合状態にある場合、1つの分子で見たとき、H-F結合の結合力が相対的に弱まっている。従って、HF分子のF原子は、被処理体の表面と結合し易くなり、フッ化物を形成し易くなる。このような挙動により、80℃未満では、高いエッチング速度が得られるものと考えられる。

[0056] 基本エッチング技術において、仮に処理温度を80℃未満とした場合、このようなHFガスの会合状態の影響が生じ、触媒材料の非被覆領域において、被処理体がエッチングされてしまう。従って、前述の反応機構による被覆領域でのエッチング選択性が低下してしまう。

[0057] これに対して、処理温度を80℃以上とした場合、触媒材料の非被覆領域において、会合状態のHFガスによる高いエッチング力を抑制できる。また、前述の反応機構に基づき、被覆領域の直下では、被処理体のエッチングが可能となる。その結果、80℃以上の処理温度では、触媒材料の被覆領域／非被覆領域の間で、高いエッチング選択性を得ることができる。また、これにより、基本エッチング技術では、被覆領域を選択的にエッチングすることができる。

[0058] （形成される凹部構造）

基本エッチング技術では、被処理体の表面の垂線に沿って実質的に平行に延在する側壁を有する凹部構造（以下、「垂直凹部構造」と称する）を、比較的容易に形成できる。

[0059] 以下、図5および図6を参照して、この理由について説明する。

[0060] 図5および図6には、基本エッチング技術の一過程を模式的に示す。

[0061] 図5には、被処理体1の表面に触媒材料3が設置された状態を模式的に示す。なお、図5および図6では、表示の関係上、被処理体1と触媒材料3とは、相互に離間されているように示されているが、実際には、両者は接触している。

- [0062] 前述のように、被処理体 1 は、 SiO_2 であると仮定し、表面は、H 終端化されていると仮定している。
- [0063] 触媒材料 3 は、極性官能基を有する有機化合物であり、ここでは、極性官能基として OH 基を仮定している。被処理体 1 の表面への触媒材料 3 の設置により、被処理体 1 には、被覆領域 8 a および非被覆領域 8 b が形成される。
- [0064] 前述のように、 80°C 以上に加熱された被処理体 1 を HF ガスに暴露することにより、触媒材料 3 が設置された被覆領域 8 a の直下で、選択的にエッチングが進行する。これにより、被覆領域 8 a の直下に、凹部構造が形成される。
- [0065] 図 6 には、被処理体 1 のエッチングがある程度進行し、ある深さの凹部構造 5 が形成された状態を示す。
- [0066] 前述のように、被覆領域 8 a には、触媒材料 3 が設置されている。このため、エッチング反応が進行しても、凹部構造 5 の底面 6 の上には、依然として触媒材料 3 が存在する。すなわち、エッチング処理を継続する間、凹部構造 5 の底面 6 は、触媒材料 3 と接触し続ける。これにより、凹部構造 5 の底面 6 は、前述の反応機構でエッチングされ続け、底面 6 は、深さ方向に進行し続ける。
- [0067] 一方、凹部構造 5 の側壁 7 に着目した場合、いったんエッチングが開始されると、該側壁 7 の触媒材料 3 と接触する部分では、前述の機構に従って、エッチング反応が進行する。より正確に言えば、被処理体 1 の触媒材料 3 の側面と接触する部分のみがエッチングされる。これにより、触媒材料 3 の側面と接触する箇所では、側壁 7 により区画された凹部構造 5 が形成される。
- [0068] ただし、触媒材料 3 は、より深く下降し続けるため、ある時点以降、側壁 7 の上側の部分は、触媒材料 3 の側面ともはや接触しなくなる。以下、このような、触媒材料 3 の側面と非接触となった側壁 7 を「第 1 の側壁部分 7 a」と称する。
- [0069] ここで、前述のように、非被覆領域 8 b のような、触媒材料 3 が存在しな

い箇所では、実質的にエッチングが進行しない。換言すれば、被処理体 1 において、エッチング反応は、触媒材料 3 と接触しているときにのみ発生し、それ以外の状態では生じない。このため、側壁 7 において、第 1 の側壁部分 7 a のような、一度触媒材料 3 と非接触となった箇所は、それ以降、エッチングの進行が事実上停止される。

[0070] 基本エッチング技術では、このような触媒材料 3 と接触しない第 1 の側壁部分 7 a でのエッチング停止作用の結果、触媒材料 3 の直下でのみ、被処理体 1 のエッチングが選択的に進行し、最終的に垂直凹部構造を形成することができる。

[0071] すなわち基本エッチング技術では、開口の面積と底面の面積が実質的に等しい、凹部構造 5 が形成される。

[0072] また、基本エッチング技術は、被処理体に対してエッチングプロセスを実施する前に、波長が 380 nm 以下の深紫外線 (D U V) を含む照射光を触媒材料に照射するステップ (以下、「D U V 照射プロセス」と称する) を有する。このような D U V 照射プロセスを追加した場合、後続のエッチングプロセスの際に、被処理体のエッチング速度を制御することが可能となる。

[0073] なお、基本エッチング技術において、D U V 照射プロセスを実施した後にエッチングプロセスを実施することにより、被処理体のエッチング速度が制御できるのは、D U V 照射プロセスによって極性官能基の数が増えるためであると考えられる。

[0074] 以下、前述の図 5 を再度参照して、係る現象について説明する。

[0075] 図 5 に示すように、被処理体 1 の表面に触媒材料 3 が設置された場合、被処理体 1 には、被覆領域 8 a および非被覆領域 8 b が形成される。

[0076] 前述のように被覆領域 8 a では、触媒材料 3 の存在により、反応式 (1) における反応障壁が低くなり、エッチングプロセスの際に、被覆領域 8 a で選択的にエッチングが進行する。

[0077] ただし、D U V 照射プロセスを実施した場合、波長が 380 nm 以下の深紫外線に対する暴露の結果、触媒材料 3 内で架橋反応が生じる。架橋反応に

より、触媒材料3に含まれる極性官能基（例えば、C-OH基）の数が減少する。そのため、その後のエッチングプロセスの際に、前述の反応式（1）の反応における反応障壁の低減効果が弱まり、エッチング速度が低下するものと考えられる。

[0078] また、この場合、D U V照射プロセスにおいて、深紫外線を含む照射光の照射強度、および照射光の照射時間を変えることにより、触媒材料3に含まれる極性官能基の数も変化する。従って、D U V照射プロセスにおける照射条件を変更することにより、エッチングプロセスにおいて、被処理体1のエッチング速度を制御することができる。

[0079] 例えば、比較的深さの浅い凹部構造を形成する場合には、D U V照射プロセスにおける照射光の照射強度を高め、および／または照射時間を長くしてもよい。これにより、エッチングプロセスでのエッチング速度が有意に低減され、被処理体に対するオーバーエッチングを防止することが可能となる。

[0080] また、比較的深い凹部構造を形成する場合には、D U V照射プロセスにおける照射光の照射強度を弱め、および／または照射時間を短くしてもよい。これにより、エッチングプロセスでのエッチング速度が高まり、加工時間を短縮することができる。

[0081] このように、基本エッチング技術では、垂直凹部構造を有する部材を各種エッチング速度で製造することができる。

[0082] （本願発明者らが開発した新たな微細加工技術）

本願発明者らが開発した新たな微細加工技術は、このような「基本エッチング技術」をベースとするものである。

[0083] すなわち、本発明の一実施形態では、

凹部構造を有する部材を製造する方法であって、

（1）被処理体の第1の表面の第1の領域に触媒材料を設置するステップであって、

前記第1の表面は、フッ化物の沸点が550℃以下である元素で構成され、

前記触媒材料は、極性官能基を有する有機化合物を含み、

前記触媒材料は、該触媒材料の断面視、すなわち前記第1の表面に対して垂直な断面で見たとき、相互に対向する第1の高さ H_1 を有する第1の側面および第2の高さ H_2 を有する第2の側面を有し、ただし、 $H_1 > 0 \mu\text{m}$ 、 $H_2 \geq 0 \mu\text{m}$ であり、かつ前記高さ H_1 は、前記高さ H_2 よりも高い、ステップと、

(2) 波長が 380nm 以下の深紫外線を含む照射光を前記触媒材料に照射するステップと、

(3) 80°C 以上で、前記被処理体をフッ素含有ガスに暴露するステップと、

、

を有し、

前記(3)のステップの後に、前記第1の領域の下側に凹部構造が形成され、該凹部構造は、前記断面視、前記第1の領域の中心において、前記第1の表面から引いた垂線よりも前記第2の側面の側に偏向した形状を有する、方法が提供される。

[0084] なお、凹部構造の第2の側面の側に偏向した形状は、直線形状であっても、曲線形状であってもよい。

[0085] 本発明の一実施形態では、第1の表面に設置される触媒材料は、該触媒材料の断面視、相互に対向する第1の側面および第2の側面を有し、記第1の側面の高さ H_1 が第2の側面の高さ H_2 ($H_2 \geq 0 \mu\text{m}$) よりも高いという特徴を有する。

[0086] ここで、「(触媒材料)の断面視」とは、対象となる部材(例えば、触媒材料)を、被処理体の第1の表面に対して垂直な断面で視認することを意味する。

[0087] また、触媒材料の第1の側面は、ある正の値の高さ H_1 を有するが、第2の側面は、高さ H_2 が0であってもよい。すなわち、本願において、高さ H_1 は、 $H_1 > 0 \mu\text{m}$ で表されるのに対して、高さ H_2 は、 $H_1 \geq 0 \mu\text{m}$ で表される。なお、 $H_2 = 0$ の場合、そのような触媒材料は、例えば、略三角形

状の断面を有してもよい。

[0088] このような形態の触媒材料を設置してから、前述のD U V照射プロセスおよびエッチングプロセスを実施した場合、被処理体に第2の側面の側に偏向した形状を有する凹部構造を形成することができる。

[0089] 以下、図7～図9を参照して、このメカニズムについて説明する。

[0090] 図7～図9には、本発明の一実施形態において、被処理体の第1の表面に凹部構造が形成される過程を模式的に示す。

[0091] 図7は、被処理体1の第1の表面12に触媒材料3のパターンが設置された状態を示す。図8には、D U V照射プロセス後の被処理体1に対して、エッチングプロセスが開始された後（エッチング時間 t_1 ）の状態を示す。また、図9には、被処理体1に対するエッチングプロセスがさらに進んだ状態（エッチング時間 t_2 。 $t_2 > t_1$ ）を示す。

[0092] 図7に示した例では、第1の表面12に、断面視、三角形状の触媒材料3が設置されている。触媒材料3は、上面18および底面19を有する。上面18の高さは、図7の左側の最大値から、右側の最小値（ゼロ）まで、連続的に減少する。

[0093] なお、図7に示した触媒材料3は、第1の側（図7の左側）に高さが H_1 の第1の側面17Aを有し、第2の側（図7の右側）に高さが H_2 の第2の側面17Bを有する形態を有するとも言える。ただし、示した例では、 $H_2 = 0$ である。すなわち、本願において、 $H_1 > 0$ であるのに対して、 $H_2 \geq 0$ である。

[0094] このような状態で、触媒材料3のD U V照射プロセス後の被処理体1に対して、エッチングプロセスを実施した場合、触媒材料3により、第1の表面12が矢印F1の方向にエッチングされる。

[0095] ここで、図7に示すように、触媒材料3の高さに関して、 $H_1 > H_2$ とした場合、第1の側面17Aの側および第2の側面17Bの側において、触媒材料3に含まれる極性官能基の量に差異が生じる。このため、両側において、被処理体1のエッチング速度が変化する。すなわち、極性官能基が多い第

1の側面17Aの側では、第2の側面17Bの側よりもエッチング速度が大きくなる。

[0096] その結果、エッチングプロセスが進行した際には、図8に示すように、形成される凹部構造50は、触媒材料3の第2の側面17Bの直下に比べて、第1の側面17Aの直下でより深くなる。

[0097] さらにエッチングプロセスを継続すると、第1の側面17Aと第2の側面17Bの間において、エッチング速度の差がより顕著となる。従って、図9に示すように、形成される凹部構造50は、触媒材料3の第1の側面17Aに対応する側壁57Aの方が、第2の側面17Bに対応する側壁57Bよりも長くなる。その結果、凹部構造50は、第2の側面17Bの方に偏向した形態となる。例えば、図9に示した例では、凹部構造50は、第2の側面17Bの方に向かって湾曲した、非直線状の形態となる。

[0098] 以上の結果、本発明の一実施形態では、第1の表面12の下側に、所定の方向に偏向した凹部構造5を有する部材を製造することができる。

[0099] なお、本発明の一実施形態では、図9に示すように、前述のメカニズムから、エッチングプロセスのいずれの段階においても、凹部構造50の底面56と開口52の面積は、ほぼ一致する。すなわち、本発明の一実施形態では、形成される凹部構造50は、断面視、延伸方向において、幅の寸法がほぼ一定であるという特徴を有する。

[0100] (本発明の一実施形態による凹部構造を有する部材を製造する方法)

次に、図10～図12を参照して、本発明の一実施形態による凹部構造を有する部材を製造する方法について、より詳しく説明する。

[0101] 図10には、本発明の一実施形態による凹部構造を有する部材を製造する方法(以下、単に「第1の方法」と称する)のフローを概略的に示す。

[0102] 図10に示すように、第1の方法は、

(1) 第1の表面を有する被処理体を提供するステップであって、

前記第1の表面は、フッ化物の沸点が550℃以下となる元素を含む、ステップ(S110)と、

(2) 前記被処理体の前記第1の表面の第1の領域に触媒材料を設置するステップであって、

前記触媒材料は、極性官能基を有する有機化合物を含み、

前記触媒材料は、該触媒材料の断面視、相互に対向する第1の高さH1を有する第1の側面および第2の高さH2を有する第2の側面を有し、

前記第1の側面の高さH1 ($H1 > 0 \mu m$) は、前記第2の側面の高さH2 ($H2 \geq 0 \mu m$) よりも高い、ステップ(S120)と、

(3) 波長が380nm以下の深紫外線(DUV)を含む照射光を前記触媒材料に照射するステップ(S130)と、

(4) 80℃以上で、前記被処理体をフッ素含有ガスに暴露するステップ(S140)と、

を有する。

[0103] 以下、各ステップについて説明する。

[0104] (ステップS110)

まず、被処理体が準備される。

[0105] 被処理体は、単一の部材で構成されても、複数の部材で構成されてもよい。

[0106] 被処理体が単一の部材で構成される場合、被処理体は、フッ素(F)との反応により、沸点が550℃以下のフッ化物が形成される元素で構成される。

[0107] 例えば、被処理体は、B、C、Si、P、S、Ti、V、Cr、Ge、As、Se、Nb、Mo、Tc、Ru、Rh、Sn、Sb、Te、I、Ta、W、Re、Os、Ir、Pt、およびAuからなる群から選定された、少なくとも1つの元素を含んでもよい。また、被処理体は、さらに、H、N、Cl、Br、およびOからなる群から選定された、少なくとも1つの元素を含んでもよい。

[0108] 特に、被処理体は、フッ素との反応により、沸点が200℃以下のフッ化物が形成される元素で構成されることが好ましい。

- [0109] 例えば、ケイ素 (Si) は、フッ化物 SiF_4 の沸点が -86°C であり、ケイ素を含む被処理体は、第1の方法における被処理体として、好適に使用することができる。
- [0110] なお、Al および Ca は、それぞれ、フッ化物 (AlF_3) および (CaF_2) の沸点が 550°C を超える。従って、Al および Ca は、フッ素 (F) との反応により、沸点が 550°C 以下のフッ化物が形成される元素とは言えない。
- [0111] 被処理体は、例えば、石英ガラス基板、水晶基板、またはケイ素基板であってもよい。
- [0112] 一方、被処理体が複数の部材の積層体で構成される場合、被処理体は、最表面 (本願の「第1の表面」に対応する) に、フッ化物の沸点が 550°C 以下である元素を含む。
- [0113] 前述のように、そのような元素は、例えば、B、C、Si、P、S、Ti、V、Cr、Ge、As、Se、Nb、Mo、Tc、Ru、Rh、Sn、Sb、Te、I、Ta、W、Re、Os、Ir、Pt、および Au からなる群から選定されてもよい。また、第1の表面は、さらに、H、N、Cl、Br、および O からなる群から選定された、少なくとも1つの元素を含んでもよい。
- [0114] 例えば、被処理体は、基板の上に設置された1または2以上の膜を有し、最表面の膜が、前述の特徴を満たしてもよい。あるいは、複数の膜全体が、前述の特徴を満たしてもよい。
- [0115] そのような膜は、例えば、 SiO_2 、 Si_3N_4 、および SiC の少なくとも1つを有してもよい。
- [0116] あるいは、膜とともに、基板も、前述の特徴を有してもよい。この場合、第1の方法により、基板の内部にまで凹部構造が形成された部材を製造できる。基板は、例えば、石英ガラス基板、水晶基板、またはケイ素基板であってもよい。
- [0117] なお、以降の説明では、煩雑化を避けるため、被処理体は、単一の石英ガ

ラスで構成され、該石英ガラスの第1の表面に、凹部構造が形成されるものと仮定する。

[0118] (ステップS120)

次に、被処理体の第1の表面に触媒材料が設置される。触媒材料は、第1の表面の所定の領域に設置される。

[0119] 触媒材料は、極性官能基を有する有機化合物を含む。極性官能基は、例えば、ヒドロキシ基、アルデヒド基、カルボキシ基、アミノ基、スルホ基、チオール基、アミド結合、カルボニル基、ニトロ基、シアノ基、エーテル結合、およびエステル結合からなる群から選定された、少なくとも1つを含んでもよい。

[0120] そのような有機化合物の代表例は、例えば、フェノール樹脂、アクリル樹脂、およびメタクリル樹脂などである。

[0121] 触媒材料は、前述の極性官能基を有する有機化合物のみで構成されても、他の添加剤との混合物として提供されてもよい。

[0122] 後者の場合、触媒材料は、溶媒、バインダ、および／または微粒子等を含んでもよい。

[0123] 触媒材料の設置方法は、特に限られない。

[0124] 触媒材料は、例えば、塗布法、印刷法、スピンコート法、またはスプレー法などを用いて、被処理体の第1の表面に設置されてもよい。

[0125] 図11には、被処理体に触媒材料が設置された様子を模式的に示す。

[0126] 図11に示すように、被処理体110は、第1の表面112および第2の表面114を有する。触媒材料130は、被処理体110の第1の表面112の一部に設置される。

[0127] なお、図11に示した例では、触媒材料130は、複数の平行な線状のパターン131として設置されている。しかしながら、これは、単なる一例であって、触媒材料130は、必要な凹部構造に応じて、いかなる態様で設置されてもよい。触媒材料130は、例えば、一本の直線として配置されてもよい。あるいは、触媒材料130は、例えば、丸い点状のパターン、または

1つの丸い点として配置されてもよい。

[0128] なお、前述の定義により、第1の表面112において、触媒材料130が設置された領域は、被覆領域140aと称され、その他の領域は、非被覆領域140bと称される。

[0129] 図12には、図11のI-I線で切断された断面の一部を模式的に示す。

[0130] 図12に示すように、それぞれの触媒材料130は、断面視、左右で高さ（高さ）の異なる形態を有する。

[0131] すなわち、各触媒材料130は、上面118および底面119と、高さの異なる第1の側面117Aおよび第2の側面117Bとを有する。また、第1の側面117Aの高さH1は、第2の側面117Bの高さH2よりも高く構成される。従って、触媒材料130の上面118は、第2の側面117Bの側が下降した傾斜表面を有する。

[0132] ただし、触媒材料130は、高さH1>高さH2となっている限り、その形状は、特に限られない。触媒材料130は、例えば、断面視、図12に示したような台形を90°回転したような形状に加えて、前述の図7に示した三角形など、各種形態を有してもよい。

[0133] また、断面視、触媒材料130の上面118は、必ずしも、第1の側面117Aの頂部と第2の側面117Bの頂部を結んだ直線状である必要はない。例えば、触媒材料130の上面118は、断面視、下に凸の曲線状、上に凸の曲線状など、非直線状であってもよい。あるいは、上面118は、一つまたは複数の段差（ステップ）を有してもよい。

[0134] ここで、触媒材料130は、断面視、第1の側面117Aと第2の側面117Bを結ぶ直線E（図12に示した例では上面118と一致する）と、第1の表面112とのなす角 ϕ （ $0^\circ < \phi < 90^\circ$ ）が $1^\circ \sim 80^\circ$ の範囲であってもよい。

[0135] ϕ は、 $3^\circ \sim 50^\circ$ の範囲であることが好ましく、 $5^\circ \sim 15^\circ$ の範囲であることがより好ましい。

[0136] また、触媒材料130の幅W（図12参照）は、特に限られないが、例え

ば、 $0.1\ \mu\text{m}\sim 100\ \mu\text{m}$ の範囲であり、 $0.3\ \mu\text{m}\sim 50\ \mu\text{m}$ の範囲であることが好ましい。

[0137] (ステップS130)

次に、触媒材料130に対して照射光が照射される。照射光は、波長が $380\ \text{nm}$ 以下の深紫外線(DUV)を含む。深紫外線の波長は、 $200\ \text{nm}\sim 365\ \text{nm}$ の範囲であってもよい。

[0138] 通常の場合、照射光は、光源から照射される。そのような光源は、単一波長(または単一の波長範囲)の光を放射する光源であっても、複数の波長(または複数の波長範囲)の光を放射する光源であってもよい。

[0139] 照射光の照射強度および照射時間等の照射条件は、以降のステップS140において採用されるエッチング速度により定められる。すなわち、照射光の照射強度を強くし、照射時間を長くするほど、ステップS140における被処理体の最大エッチング速度が低下する。

[0140] ただし、ステップS140の後に形成される凹部構造の偏向の度合いは、触媒材料の両側面(側面17Aの側および第2の側面17Bの側)に含まれる極性官能基の量の差に起因するエッチング速度差で決まる。従って、触媒材料全面に照射されるDUV照射の強度を変えても、凹部構造の偏向の度合い自体は、あまり変化しない。

[0141] 例えば、照射光の照射量 $P\ (\text{mJ}/\text{cm}^2)$ は、 $20\ \text{mJ}/\text{cm}^2$ 以上であってもよい。

[0142] ここで、照射光の照射量 P は、以下の式(2)で表される：

$$\begin{aligned} \text{照射量 } P\ (\text{mJ}/\text{cm}^2) = \\ \text{ランプAの照射強度}\ (\text{mW}/\text{cm}^2) \times \text{照射時間}\ (\text{sec}) \end{aligned} \quad (2)$$

(ステップS140)

次に、触媒材料130が設置された被処理体110が処理チャンバ内に収

容される。その後、被処理体のエッチングプロセスのため、処理チャンバ内
が所定の温度まで加熱され、処理ガスが供給される。

[0143] 処理ガスは、フッ化水素ガスまたはフッ素ガスを含む。例えば、処理ガス
は、アルゴンガスまたは窒素ガスのようなキャリアガスにより、所定の濃度
に調整されてもよい。この場合、フッ化水素ガスまたはフッ素ガスの濃度は
、例えば、0.1 vol%~100 vol%の範囲であってもよい。

[0144] 前述のように、処理温度は、80℃以上である。実際の処理温度は、被処
理体110（特に、第1の表面112）に含まれる元素、ならびに凹部構造
の種類および深さ等により変化するが、通常の場合、200℃~450℃の
範囲であり、250℃~400℃の範囲であることが好ましい。処理温度を
450℃以下とすることにより、触媒材料130に含まれる有機化合物の変
質を抑制することができる。

[0145] 前述のように、このような環境下での被処理体110のエッチング処理に
より、被覆領域140aにおいて、前述の反応式（1）が生じる。また、反
応により生じたフッ化物および水は、気体となって系外に逸散する。その結
果、第1の表面112の被覆領域140aに、所定の方向に偏向した凹部構
造が形成される。

[0146] 図13には、エッチング処理後の被処理体110の断面の一例を模式的に
示す。

[0147] 図13に示すように、第1の方法では、ステップS140後に、右側に偏
向した曲線状の凹部構造150が形成されてもよい。

[0148] その後、凹部構造150の底面に残留する触媒材料130を除去する工程
を実施してもよい。例えば、被処理体110を酸溶液、アルカリ溶液、有機
溶剤、腐食性ガスまたはプラズマで洗浄することにより、触媒材料130を
除去してもよい。

[0149] 以上の工程により、第1の表面112に、所定の方向に偏向した凹部構造
150を有する部材100が製造できる。

[0150] 凹部構造150の深さは、例えば、10μm以上であり、15μm以上で

あってもよい。

[0151] (本発明の一実施形態による凹部構造を有する部材)

次に、図14～図16を参照して、本発明の一実施形態による凹部構造を有する部材について説明する。

[0152] 図14には、本発明の一実施形態による凹部構造を有する部材（以下、「第1の部材300」と称する）の斜視図を示す。また、図15には、図14に示した第1の部材300の| | - | |線に沿った模式的な拡大断面図を示す。

[0153] 図14に示すように、第1の部材300は、相互に対向する第1の表面302および第2の表面304を有する。また、第1の部材300は、第1の表面302の側に、凹部構造350を有する。

[0154] なお、図14に示した例では、第1の部材300の第1の表面302および第2の表面304は、略矩形形状である。しかしながら、第1の表面302および第2の表面304の形状は、特に限られない。

[0155] また、図14に示した例では、第1の表面302に2つの凹部構造350が形成されており、2つの凹部構造350は、相互に平行に配置されている。また各凹部構造350は、一方向に延在する直線状の開口を有する。

[0156] しかしながら、これは単なる一例であり、凹部構造350の数、形状および配置は、特に限られない。

[0157] 図15に示すように、凹部構造350は、第1の表面302に開口352を有する。また、凹部構造350は、底面356および側壁357を有する。

[0158] 換言すれば、凹部構造350は、開口352、底面356および側壁357により区画される。

[0159] ここで、第1の部材300において、凹部構造350は、所定の方に偏向した形状を有する。具体的には、凹部構造350は、側壁357が鉛直方向に沿って平行に延在するのではなく、右方向に偏向しており、凹部構造350の側壁357は、曲線形状を有する。

- [0160] ただし、凹部構造350は、第1の表面302に対して垂直な断面から見たとき（すなわち断面視）、前記開口352の寸法P1（開口352の面積と見なしてもよい）と、底面356の寸法P2（底面356の面積とみなしてもよい）は、実質的に等しいという特徴を有する。
- [0161] 具体的には、比 $P2/P1$ は、0.90以上、1.1未満である。特に、比 $P2/P1$ は、0.94～1.05の範囲であることが好ましい。
- [0162] このような第1の部材300は、例えば、前述の第1の方法により製造することができる。
- [0163] 第1の部材300において、凹部構造350は、 $10\mu\text{m}$ 以上の深さを有してもよい。
- [0164] また、図15に示すように、凹部構造350は、開口352から底面356まで、第1の表面302と平行な平面に対する側壁357の角度 α （ $0^\circ < \alpha < 180^\circ$ ）が連続的に変化する形態を有してもよい。なお、角度 α は、凹部構造350の「外側」を通る側壁357の接線と、水平面との間の角度を意味する。また、本願では、図15に示すように、側壁357と底面356との交点で測定される側壁357の角度 α を、特に「 α_b 」と称する。
- [0165] 角度 α_b は、いかなる値であってもよいが、例えば、 $10^\circ \sim 80^\circ$ の範囲であってもよい。
- [0166] 特に、凹部構造350は、後述の図21に示すように、断面視、開口352の中心と底面356の中心を直線で結ぶことができない曲線形状を有してもよい。
- [0167] また、第1の部材300は、凹部構造350において側壁357を構成する表面が比較的平滑であり、 5nm 以下の表面粗さ R_a を有するという特徴を有する。特に、側壁357の表面粗さ R_a は、 4.5nm 以下であることが好ましく、 4.0nm 以下であることがさらに好ましい。
- [0168] 以下、この特徴について説明する。
- [0169] 前述の図5および図6を参照して説明したように、基本エッチング技術をベースとする第1の方法では、被覆領域8a上に設置された触媒材料3によ

り、被覆領域 8 a が選択的にエッチングされる。また、触媒材料 3 と被覆領域 8 a の関係が継続される限り、凹部構造 5 は、深さ方向に進展し続ける。

[0170] このようなエッチング機構の場合、エッチングにより生じる凹部構造 5 の側壁 7 は、該側壁 7 が接触する触媒材料 3 の側面の状態の影響を受ける。

[0171] 一般に、触媒材料 3 の側面は、凹凸が少なく比較的平滑な表面であると考えられる。そのような触媒材料 3 の側面の凹凸の影響を反映して、凹部構造 5 の側壁 7 も、比較的平滑な表面となる。その結果、凹部構造 5 の側壁 7 には、表面粗さが有意に抑制された表面が得られると考えられる。

[0172] このような平滑性は、従来のエッチング処理された部材では認められない有意なものである。例えば、一般的な R I E 法では、凹部の側壁は、加工の間、イオンの衝突の影響を受けるため、比較的大きな凹凸を有し得る。

[0173] また、第 1 の部材 3 0 0 は、側壁 3 5 7 に、凹部構造 3 5 0 の延伸方向に沿った筋 (s t r e a k) 模様が存在するという特徴を有し得る。

[0174] 以下、図 1 6 を参照して、この特徴について説明する。

[0175] 図 1 6 には、凹部構造 3 5 0 の側壁 3 5 7 の表面の形態を模式的に示す。図 1 6 には、側壁 3 5 7 の表面の一部が模式的に示されている。

[0176] 図 1 6 に示すように、第 1 の部材 3 0 0 において、凹部構造 3 5 0 の側壁 3 5 7 には、開口 3 5 2 から底面 3 5 6 まで続く、連続的な筋 (以下、「連続筋」と称する) 3 8 0 が形成されている。

[0177] なお、図 1 6 では、連続筋 3 8 0 は、3 本示されている。しかしながら、これは単なる一例であって、連続筋 3 8 0 の数は、特に限られない。

[0178] このような連続筋 3 8 0 の模様も、前述の機構により形成されると考えられる。

[0179] すなわち、図 6 に示したように、基本エッチング技術におけるエッチングにより生じる凹部構造 5 の側壁 7 は、該側壁 7 が接触する触媒材料 3 の側面の状態の影響を受ける。

[0180] また、第 1 の方法では、側面にそのような凹凸を有する触媒材料 3 が、凹部構造 5 の深さ方向に沿って、凹部構造 5 の底面 6 にまで進行する。従って

、最終的に得られる凹部構造5の側壁7にも、そのような凹凸に対応した連続筋の模様が形成され易くなる。

[0181] その結果、側壁357に、深さ方向に沿った連続筋380が生じるものと考えられる。

[0182] (第1の部材300のその他の特徴)

第1の部材300は、単一の部材であっても、複数の部材で構成されてもよい。

[0183] 第1の部材300が単一の部材で構成される場合、第1の部材300は、フッ素(F)との反応により、沸点が550℃以下のフッ化物が形成される元素で構成される。

[0184] 例えば、第1の部材300は、B、C、Si、P、S、Ti、V、Cr、Ge、As、Se、Nb、Mo、Tc、Ru、Rh、Sn、Sb、Te、I、Ta、W、Re、Os、Ir、Pt、およびAuからなる群から選定された、少なくとも1つの元素を含んでもよい。また、被処理体は、さらに、H、N、Cl、Br、およびOからなる群から選定された、少なくとも1つの元素を含んでもよい。

[0185] 第1の部材300が単一の部材で構成される場合、第1の部材300は、例えば、石英ガラス基板または水晶基板であってもよい。

[0186] 一方、第1の部材300が複数の部材で構成される場合、第1の部材300は、第1の表面302に、フッ化物の沸点が550℃以下となる元素を含む。

[0187] 前述のように、そのような元素は、例えば、B、C、Si、P、S、Ti、V、Cr、Ge、As、Se、Nb、Mo、Tc、Ru、Rh、Sn、Sb、Te、I、Ta、W、Re、Os、Ir、Pt、およびAuからなる群から選定されてもよい。また、第1の表面302は、さらに、H、N、Cl、Br、およびOからなる群から選定された、少なくとも1つの元素を含んでもよい。

[0188] 例えば、第1の部材300は、基板材料の上に設置された1または2以上

の膜を有し、最表面の膜が、前述の特徴を満たしてもよい。あるいは、複数の膜全体が、前述の特徴を満たしてもよい。

[0189] そのような膜は、例えば、 SiO_2 、 Si_3N_4 、および SiC の少なくとも1つを有してもよい。あるいは、膜とともに、基板材料も、前述の特徴を有してもよい。

[0190] このような特徴を有する第1の部材300は、例えば、MEMSデバイス、マイクロ流体デバイス、半導体デバイス、光学デバイス、メタサーフェスデバイス、樹脂成型用モールド、窓ガラス、およびカバーガラスなど、各種用途に適用できる。

実施例

[0191] 以下、本発明の実施例について説明する。なお、以下の記載において、例1～例4は実施例である。

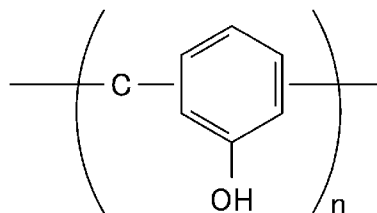
[0192] (例1)

以下の方法で、被処理体の一方の表面（第1の表面）に凹部構造を形成した。

[0193] まず、被処理体として、石英ガラス製の基板を準備した。また、触媒材料を含む塗工液を準備した。触媒材料にはi線レジストを使用し、これを溶媒（乳酸エチル、酢酸-n-ブチル）と混合することにより、塗工液を調製した。

[0194] 使用したi線レジストは、以下の化学式で表されるノボラック樹脂を含む。

[0195] [化1]



従って、i線レジストは、極性官能基としてヒドロキシ基を有する。

[0196] 次に、スピコート法により、基板の第1の表面に塗工液を設置した。

[0197] 次に、グレースケール露光、およびその後の現像処理により、基板の第1の表面に、触媒材料のラインパターンを設置した。

[0198] 図17には、形成された触媒材料の断面を模式的に示す。

[0199] 図17に示すように、触媒材料430は、台形を 90° 回転したような四角形の断面を有する。すなわち、触媒材料430は、相互に対向する第1の側面417Aおよび第2の側面417Bと、上面418とを有する。

[0200] 第1の側面417Aと第2の側面417Bの間の距離、すなわち幅Wは、 $10\mu\text{m}$ である。また、第1の側面417Aの高さH1は、約 $1.0\mu\text{m}$ であり、第2の側面417Bの高さH2は、約 $0.5\mu\text{m}$ である。上面418の傾斜角、すなわち角度 θ_r は、 2.9° である。

[0201] 次に、低圧水銀ランプ（以下、「ランプA」と称する）を用いて、触媒材料に照射光を照射した。

[0202] ランプAは、主波長が 254nm のDUVランプであり、触媒材料に対する照射量Pは、 $72000\text{mJ}/\text{cm}^2$ とした。

[0203] 次に、基板を約 $10\text{mm}\times$ 約 10mm の寸法に切断し、切断した試料を触媒材料の側が上向きとなるようにして、処理チャンバ内に設置した。また、処理チャンバ内で試料のガスエッチング処理を実施した。処理ガスには、窒素ガスとフッ化水素ガスの混合ガス（ $\text{HF}/\text{N}_2=20\text{vol}\%$ ）を使用した。処理温度は 250°C とし、処理時間は40分とした。

[0204] エッチング処理後に、表面に凹部構造が形成された。得られた被処理体を、「サンプル1」と称する。

[0205] （例2）

例1と同様の方法により、基板の第1の表面に凹部構造を形成した。ただし、この例2では、例1の場合とは触媒材料の形状を変えて、凹部構造を形成した。具体的には、図17において、上面418の傾斜角 θ_r を 5.7°

とし、第2の側面417Bの高さH2を0とした。従って、触媒材料の断面は、三角形状である。

[0206] エッチング処理後に、表面に凹部構造が形成された。得られた被処理体を、「サンプル2」と称する。

[0207] (例3)

例2と同様の方法により、基板の第1の表面に凹部構造を形成した。ただし、この例3では、例2の場合とは異なり、照射光の照射量を 144000 mJ/cm^2 とした。

[0208] エッチング処理後に、表面に凹部構造が形成された。得られた被処理体を、「サンプル3」と称する。

[0209] (例4)

例1と同様の方法により、基板の第1の表面に凹部構造を形成した。ただし、この例4では、例1の場合とは触媒材料の形状を変えて、凹部構造を形成した。具体的には、図17において、上面418の傾斜角 θ_r を 11.3° とし、第2の側面417Bの高さH2を0とした。従って、触媒材料の断面は、三角形状である。また、触媒材料の幅は、 $5\text{ }\mu\text{m}$ であった。

[0210] また、この例4では、例1の場合とは照射光の照射量Pを変えて、凹部構造を形成した。

[0211] エッチング処理後に、表面に凹部構造が形成された。得られた被処理体を、「サンプル4」と称する。

[0212] (評価)

各サンプルにおいて、凹部構造の断面を走査型電子顕微鏡(SEM)で観察し、凹部構造の各種寸法を測定した。特に、前述のように規定される凹部構造の角度 α_b および比 P_2/P_1 を測定した。

[0213] 以下の表1には、各サンプルの作製条件および評価結果をまとめて示した。

[0214]

[表1]

サンプル	触媒材料			照射量 (mJ/cm ²)	凹部構造の 底面での 角度 α_b (°)	比P2/P1
	断面形状	幅 (μ m)	角度 θ_r (°)			
1	四角形	10	2.9	7200	74.5	1.02
2	三角形	10	5.7	7200	66.2	0.97
3	三角形	10	5.7	144000	65.2	0.96
4	三角形	5	11.3	72000	14.0	0.94

図18～図21には、それぞれ、サンプル1～サンプル4において得られた凹部構造の断面の一例を示す。

[0215] これらの図に示すように、いずれのサンプルにおいても右方向に偏向した凹部構造が形成されていることがわかる。特に、サンプル1、サンプル3およびサンプル4では、凹部構造の湾曲が顕著となっている。

[0216] また、表1から、各サンプルにおいて、比 $P2/P1$ は、極めて1に近くなった。このことから、各サンプルにおいて形成された凹部構造は、延伸方向に沿って、ほぼ一定の断面形状を有する形態であることがわかった。

[0217] (本発明の態様)

本発明は、以下の態様を含む。

[0218] (態様1)

凹部構造を有する部材を製造する方法であって、

(1) 被処理体の第1の表面の第1の領域に触媒材料を設置するステップであって、

前記第1の表面は、フッ化物の沸点が 550°C 以下である元素で構成され、

前記触媒材料は、極性官能基を有する有機化合物を含み、

前記触媒材料は、該触媒材料の断面視、すなわち前記第1の表面に対して垂直な断面で見たとき、相互に対向する第1の高さ $H1$ を有する第1の側面および第2の高さ $H2$ を有する第2の側面を有し、ただし、 $H1 > 0\ \mu\text{m}$ 、 $H2 \geq 0\ \mu\text{m}$ であり、かつ前記高さ $H1$ は、前記高さ $H2$ よりも高い、ステップと、

(2) 波長が $380\ \text{nm}$ 以下の深紫外線を含む照射光を前記触媒材料に照射するステップと、

(3) 80°C 以上で、前記被処理体をフッ素含有ガスに暴露するステップと、

を有し、

前記(3)のステップの後に、前記第1の領域の下側に凹部構造が形成され、該凹部構造は、前記断面視、前記第1の領域の中心において、前記第1の表面から引いた垂線よりも前記第2の側面の側に偏向した形状を有する、

方法。

[0219] (態様2)

前記(1)のステップにおいて、前記触媒材料は、前記断面視、前記第1の側面の最上部と前記第2の側面の最上部を結ぶ直線が前記第1の表面となす角 ϕ ($0^\circ < \phi < 90^\circ$) ϕ が $1^\circ \sim 80^\circ$ の範囲である、態様1に記載の方法。

[0220] (態様3)

前記触媒材料は、前記断面視、 $0.1 \mu\text{m} \sim 100 \mu\text{m}$ の幅を有する、態様1または2に記載の方法。

[0221] (態様4)

前記触媒材料は、前記断面視、前記第1の側面から前記第2の側面まで、高さが単調に減少する上面を有する、態様1乃至3のいずれかに記載の方法。

[0222] (態様5)

前記触媒材料は、前記断面視、四角形または三角形の形状を有する、態様1乃至4のいずれかに記載の方法。

[0223] (態様6)

前記極性官能基は、ヒドロキシ基、アルデヒド基、カルボキシ基、アミノ基、スルホ基、チオール基、アミド結合、カルボニル基、ニトロ基、シアノ基、エーテル結合、およびエステル結合からなる群から選定された、少なくとも1つを含む、態様1乃至5のいずれかに記載の方法。

[0224] (態様7)

前記フッ素含有ガスは、フッ化水素ガスまたはフッ素ガスである、態様1乃至6のいずれかに記載の方法。

[0225] (態様8)

前記(3)のステップは、 200°C から 450°C の範囲で実施される、態様1乃至7のいずれかに記載の方法。

[0226] (態様9)

前記第1の表面は、H、B、C、N、O、Si、P、S、Cl、Ti、V、Cr、Ge、As、Se、Br、Nb、Mo、Tc、Ru、Rh、Sn、Sb、Te、I、Ta、W、Re、Os、Ir、Pt、およびAuからなる群から選定された、少なくとも1つの元素を含む、態様1乃至8のいずれかに記載の方法。

[0227] (態様10)

前記被処理体は、単一の部材で構成される、態様1乃至9のいずれかに記載の方法。

[0228] (態様11)

前記被処理体は、SiO₂を有する、態様10に記載の方法。

[0229] (態様12)

前記被処理体は、1または2以上の層を有する、態様1乃至9のいずれかに記載の方法。

[0230] (態様13)

第1の表面に凹部構造を有する部材であって、

前記第1の表面は、B、C、Si、P、S、Ti、V、Cr、Ge、As、Se、Nb、Mo、Tc、Ru、Rh、Sn、Sb、Te、I、Ta、W、Re、Os、Ir、Pt、およびAuからなる群から選定された、少なくとも1つの元素を含み、

前記凹部構造は、前記第1の表面に形成された開口、底面、および前記開口と前記底面をつなぐ側壁を有し、

前記凹部構造は、該凹部構造の断面視、すなわち前記第1の表面に対して垂直な断面で見たとき、

曲線形状を有し、

前記開口の寸法P1に対する前記底面の寸法P2の比P2/P1は、0.99以上、1.1未満の範囲であり、

前記底面の中心は、前記開口の中心から前記第1の表面に対して垂直な方向に延伸した延伸軸に対してずれている、部材。

[0231] (態様 14)

前記側壁の表面は、前記開口から、前記底面まで延在する少なくとも 1 本の筋 (streak) を有する、態様 13 に記載の部材。

[0232] (態様 15)

前記凹部構造は、 $10\ \mu\text{m}$ 以上の深さを有する、態様 13 または 14 に記載の部材。

[0233] (態様 16)

前記凹部構造は、前記開口から前記底面まで、前記第 1 の表面と平行な平面に対する前記側壁の角度 α ($0^\circ < \alpha < 180^\circ$) が連続的に変化する、態様 13 乃至 15 のいずれかに記載の部材。

[0234] (態様 17)

前記凹部構造は、前記断面視、前記開口の中心と前記底面の中心を直線で結ぶことができない曲線形状を有する、態様 13 乃至 16 のいずれかに記載の部材。

[0235] (態様 18)

前記第 1 の表面は、さらに、H、N、Cl、Br、およびOからなる群から選定された、少なくとも 1 つを有する、態様 13 乃至 17 のいずれかに記載の部材。

[0236] (態様 19)

当該部材は、単一の部材で構成される、態様 13 乃至 18 のいずれかに記載の部材。

[0237] (態様 20)

当該部材は、石英ガラス基板または水晶基板である、態様 19 に記載の部材。

[0238] (態様 21)

当該部材は、1 または 2 以上の層を有する、態様 13 乃至 18 のいずれかに記載の部材。

[0239] (態様 22)

当該部材は、基板と、該基板の上に設置された膜とを有し、前記膜は、 SiO_2 、 SiN 、および SiC の少なくとも1つを含み、前記第1の表面を形成する、態様13乃至18のいずれかに記載の部材。

[0240] 本願は、2023年5月31日に出願した日本国特許出願第2023-089319号に基づく優先権を主張するものであり、同日本国出願の全内容を本願に参照により援用する。

符号の説明

[0241]	1	被処理体
	3	触媒材料
	5	凹部構造
	6	底面
	7	側壁
	7 a	第1の側壁部分
	8 a	被覆領域
	8 b	非被覆領域
	1 2	第1の表面
	1 7 A	触媒材料の第1の側面
	1 7 B	触媒材料の第2の側面
	1 8	触媒材料の上面
	1 9	触媒材料の底面
	5 0	凹部構造
	5 2	開口
	5 6	底面
	5 7 A、5 7 B	側壁
	1 0 0	部材
	1 1 0	被処理体
	1 1 2	第1の表面
	1 1 4	第2の表面

- 1 1 7 A 第 1 の側面
- 1 1 7 B 第 2 の側面
- 1 1 8 上面
- 1 1 9 底面
- 1 3 0 触媒材料
- 1 3 1 パターン
- 1 4 0 a 被覆領域
- 1 4 0 b 非被覆領域
- 1 5 0 凹部構造
- 3 0 0 第 1 の部材
- 3 0 2 第 1 の表面
- 3 0 4 第 2 の表面
- 3 5 0 凹部構造
- 3 5 2 開口
- 3 5 6 底面
- 3 5 7 側壁
- 3 8 0 連続筋
- 4 3 0 触媒材料
- 4 1 7 A 第 1 の側面
- 4 1 7 B 第 2 の側面
- 4 1 8 上面
 - (a) H F 分子
 - (b) S i 原子
 - (c) O H 基
 - (d) S i - F 結合
 - (e) - δ 部
 - (f) + δ 部
 - (g) H₂O 分子

F 1 エッチング方向

請求の範囲

[請求項1]

凹部構造を有する部材を製造する方法であって、

(1) 被処理体の第1の表面の第1の領域に触媒材料を設置するステップであって、

前記第1の表面は、フッ化物の沸点が 550°C 以下である元素で構成され、

前記触媒材料は、極性官能基を有する有機化合物を含み、

前記触媒材料は、該触媒材料の断面視、すなわち前記第1の表面に対して垂直な断面で見たとき、相互に対向する第1の高さ $H1$ を有する第1の側面および第2の高さ $H2$ を有する第2の側面を有し、ただし、 $H1 > 0\ \mu\text{m}$ 、 $H2 \geq 0\ \mu\text{m}$ であり、かつ前記高さ $H1$ は、前記高さ $H2$ よりも高い、ステップと、

(2) 波長が $380\ \text{nm}$ 以下の深紫外線を含む照射光を前記触媒材料に照射するステップと、

(3) 80°C 以上で、前記被処理体をフッ素含有ガスに暴露するステップと、

を有し、

前記(3)のステップの後に、前記第1の領域の下側に凹部構造が形成され、該凹部構造は、前記断面視、前記第1の領域の中心において、前記第1の表面から引いた垂線よりも前記第2の側面の側に偏向した形状を有する、方法。

[請求項2]

前記(1)のステップにおいて、前記触媒材料は、前記断面視、前記第1の側面の最上部と前記第2の側面の最上部を結ぶ直線が前記第1の表面となす角 ϕ ($0^{\circ} < \phi < 90^{\circ}$) ϕ が $1^{\circ} \sim 80^{\circ}$ の範囲である、請求項1に記載の方法。

[請求項3]

前記触媒材料は、前記断面視、 $0.1\ \mu\text{m} \sim 100\ \mu\text{m}$ の幅を有する、請求項1または2に記載の方法。

[請求項4]

前記触媒材料は、前記断面視、前記第1の側面から前記第2の側面

まで、高さが単調に減少する上面を有する、請求項1または2に記載の方法。

[請求項5] 前記触媒材料は、前記断面視、四角形または三角形の形状を有する、請求項1または2に記載の方法。

[請求項6] 前記極性官能基は、ヒドロキシ基、アルデヒド基、カルボキシ基、アミノ基、スルホ基、チオール基、アミド結合、カルボニル基、ニトロ基、シアノ基、エーテル結合、およびエステル結合からなる群から選定された、少なくとも1つを含む、請求項1または2に記載の方法。

[請求項7] 前記フッ素含有ガスは、フッ化水素ガスまたはフッ素ガスである、請求項1または2に記載の方法。

[請求項8] 前記(3)のステップは、200℃から450℃の範囲で実施される、請求項1または2に記載の方法。

[請求項9] 前記第1の表面は、H、B、C、N、O、Si、P、S、Cl、Ti、V、Cr、Ge、As、Se、Br、Nb、Mo、Tc、Ru、Rh、Sn、Sb、Te、I、Ta、W、Re、Os、Ir、Pt、およびAuからなる群から選定された、少なくとも1つの元素を含む、請求項1または2に記載の方法。

[請求項10] 前記被処理体は、単一の部材で構成される、請求項1または2に記載の方法。

[請求項11] 前記被処理体は、SiO₂を有する、請求項10に記載の方法。

[請求項12] 前記被処理体は、1または2以上の層を有する、請求項1または2に記載の方法。

[請求項13] 第1の表面に凹部構造を有する部材であって、
前記第1の表面は、B、C、Si、P、S、Ti、V、Cr、Ge、As、Se、Nb、Mo、Tc、Ru、Rh、Sn、Sb、Te、I、Ta、W、Re、Os、Ir、Pt、およびAuからなる群から選定された、少なくとも1つの元素を含み、

前記凹部構造は、前記第1の表面に形成された開口、底面、および前記開口と前記底面をつなぐ側壁を有し、

前記凹部構造は、該凹部構造の断面視、すなわち前記第1の表面に対して垂直な断面で見たとき、

曲線形状を有し、

前記開口の寸法P1に対する前記底面の寸法P2の比 $P2/P1$ は、0.99以上、1.1未満の範囲であり、

前記底面の中心は、前記開口の中心から前記第1の表面に対して垂直な方向に延伸した延伸軸に対してずれている、部材。

[請求項14] 前記側壁の表面は、前記開口から、前記底面まで延在する少なくとも1本の筋(streak)を有する、請求項13に記載の部材。

[請求項15] 前記凹部構造は、 $10\mu\text{m}$ 以上の深さを有する、請求項13または14に記載の部材。

[請求項16] 前記凹部構造は、前記開口から前記底面まで、前記第1の表面と平行な平面に対する前記側壁の角度 α ($0^\circ < \alpha < 180^\circ$) が連続的に変化する、請求項13または14に記載の部材。

[請求項17] 前記凹部構造は、前記断面視、前記開口の中心と前記底面の中心を直線で結ぶことができない曲線形状を有する、請求項13または14に記載の部材。

[請求項18] 前記第1の表面は、さらに、H、N、Cl、Br、およびOからなる群から選定された、少なくとも1つを有する、請求項13または14に記載の部材。

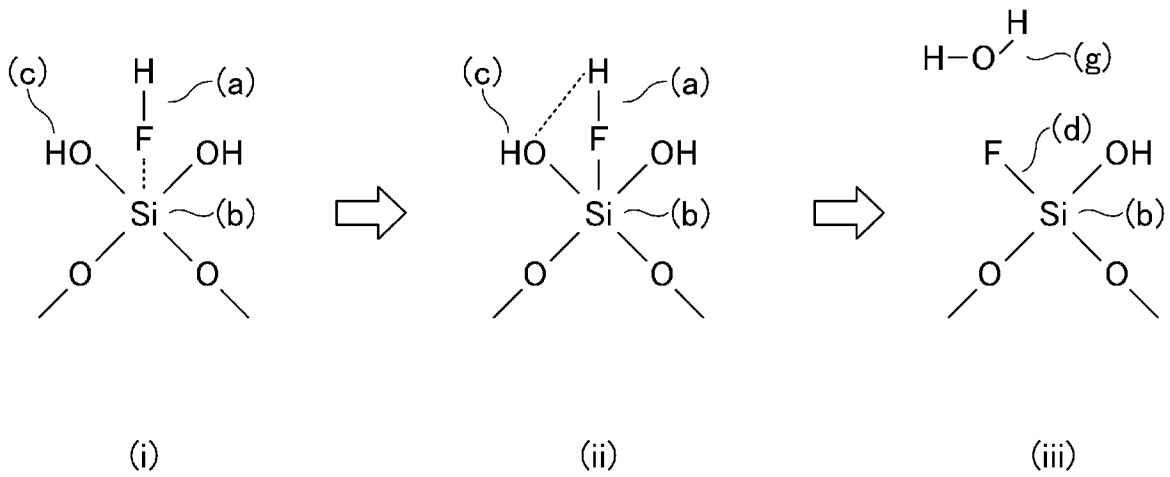
[請求項19] 当該部材は、単一の部材で構成される、請求項13または14に記載の部材。

[請求項20] 当該部材は、石英ガラス基板または水晶基板である、請求項19に記載の部材。

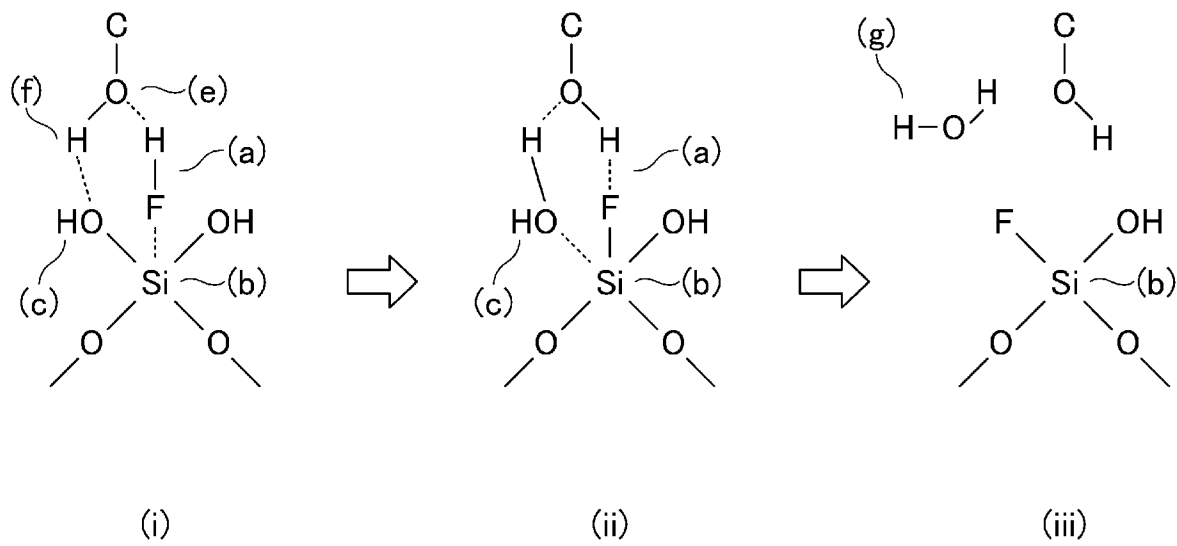
[請求項21] 当該部材は、1または2以上の層を有する、請求項13または14に記載の部材。

[請求項22] 当該部材は、基板と、該基板の上に設置された膜とを有し、前記膜は、 SiO_2 、 SiN 、および SiC の少なくとも1つを含み、前記第1の表面を形成する、請求項13または14に記載の部材。

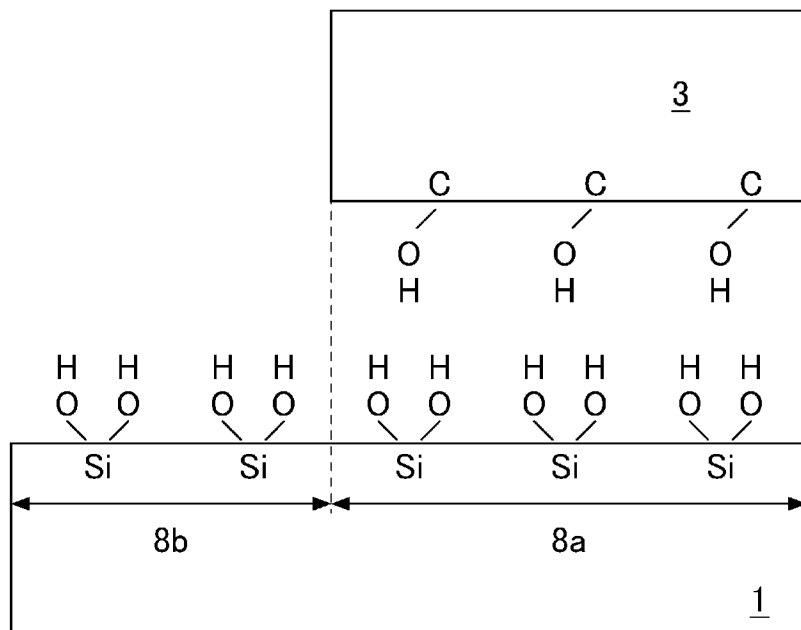
[図1]



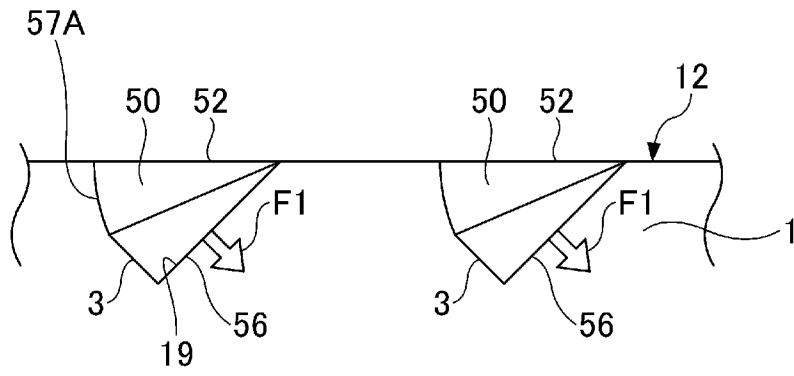
[図2]



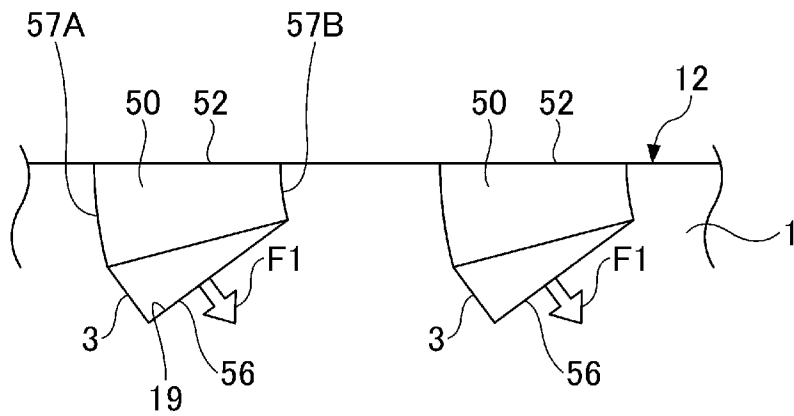
[図5]



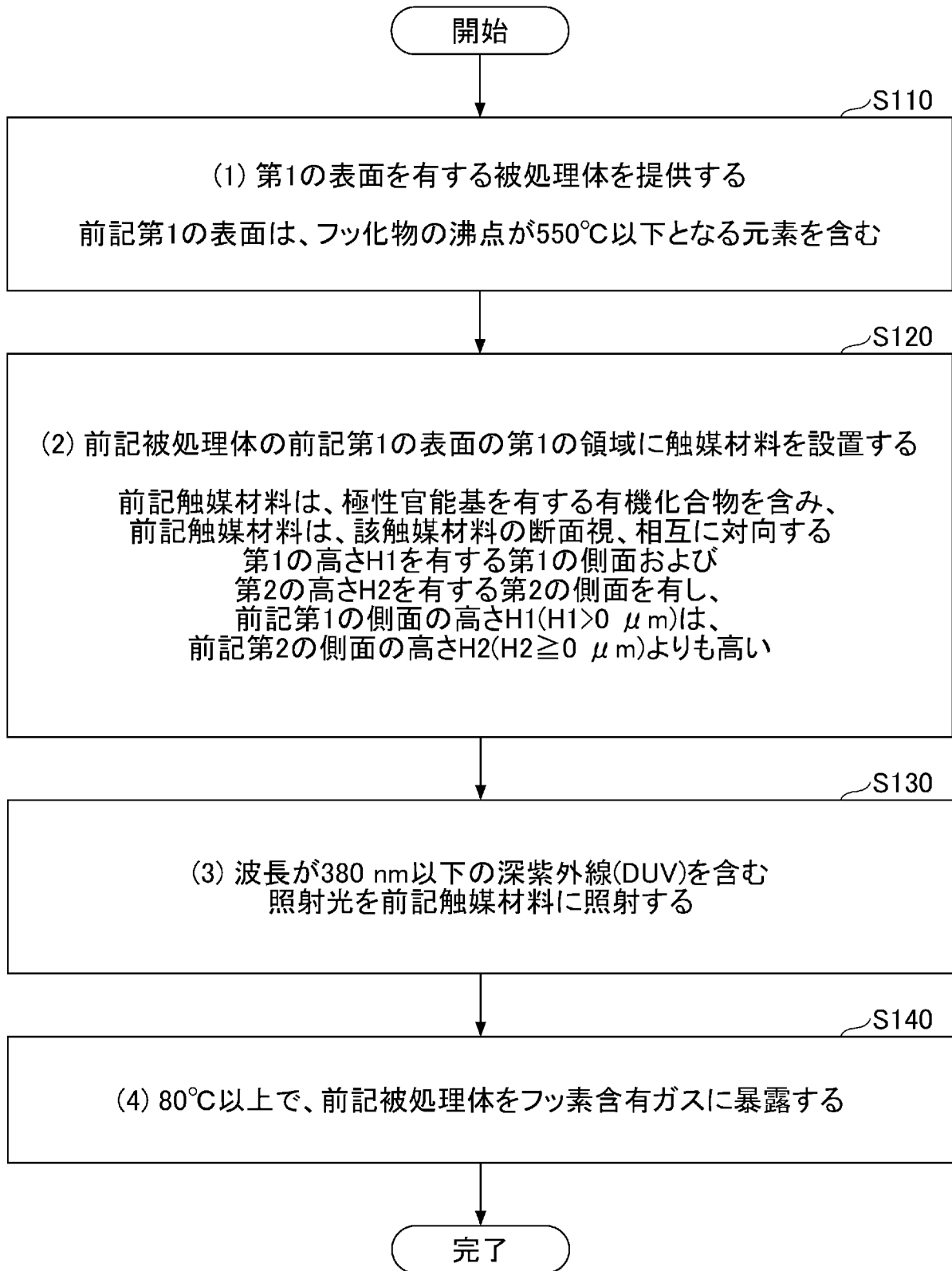
[図8]



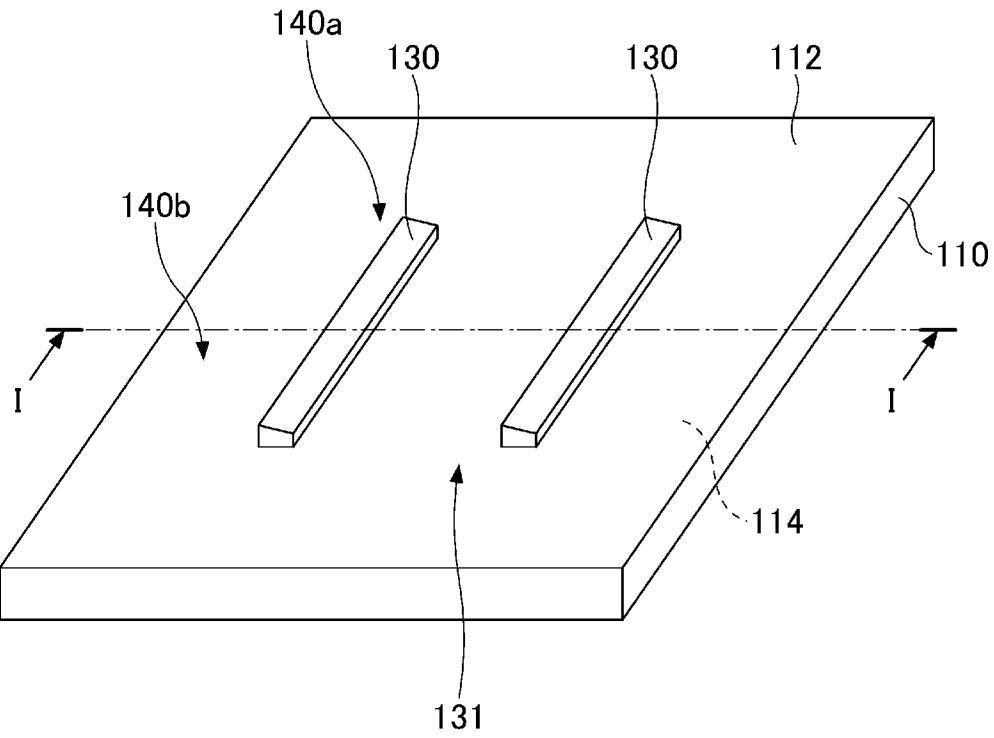
[図9]



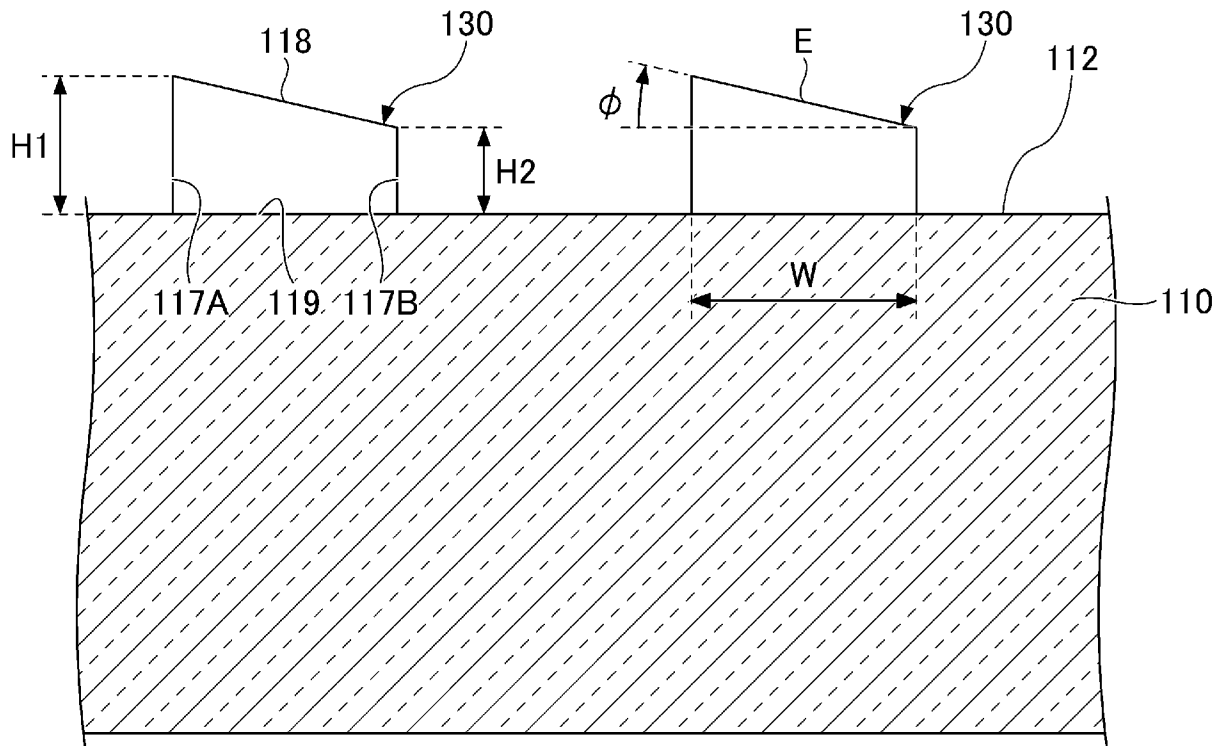
[図10]



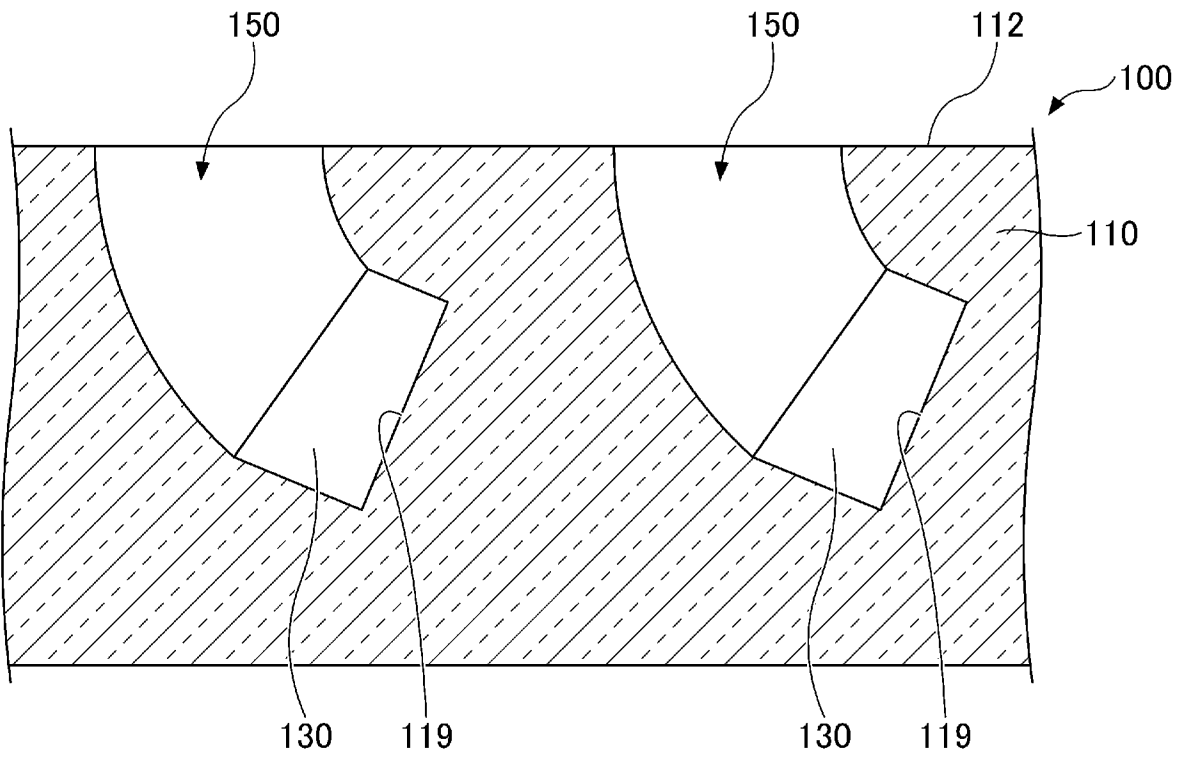
[図11]



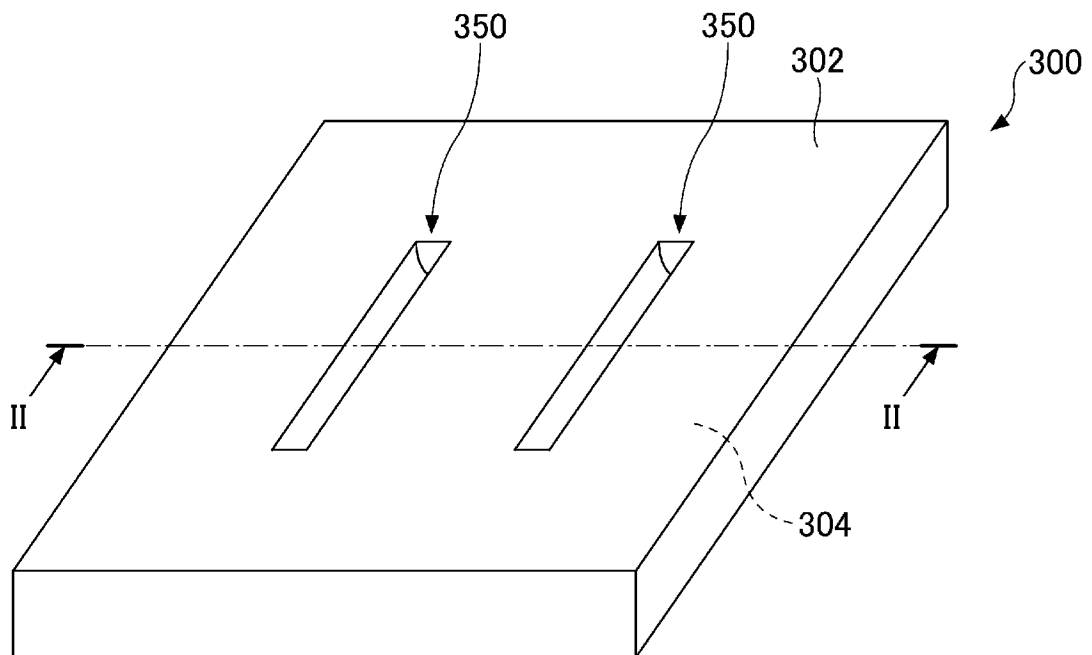
[図12]



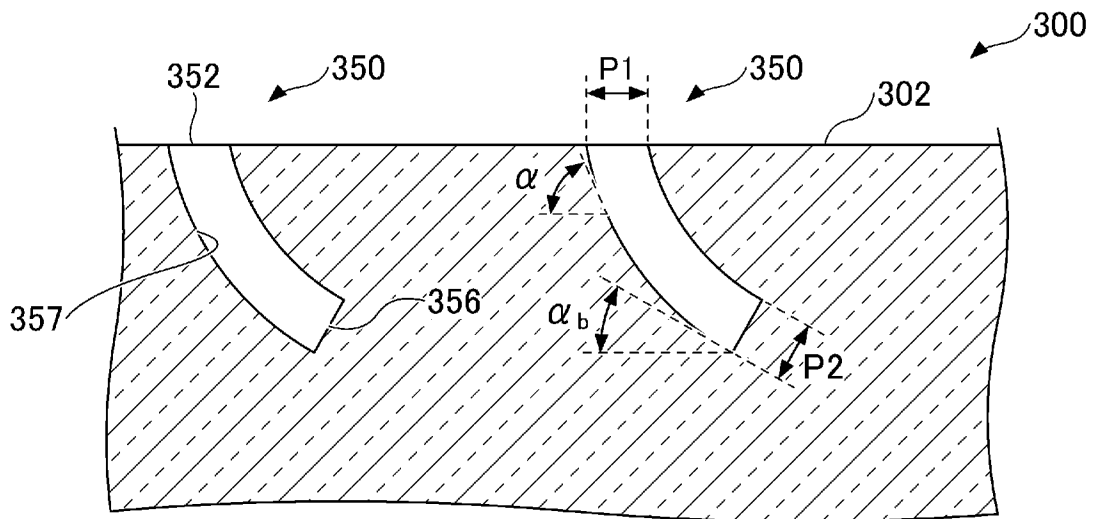
[図13]



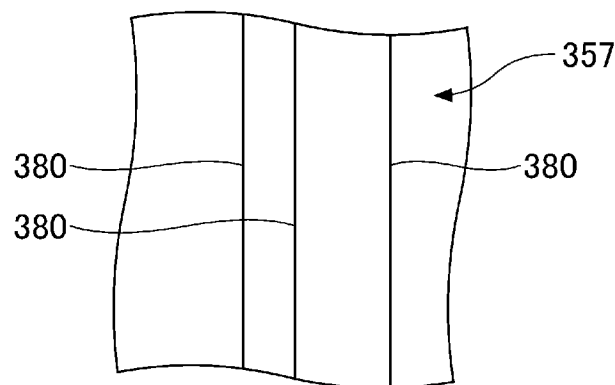
[図14]



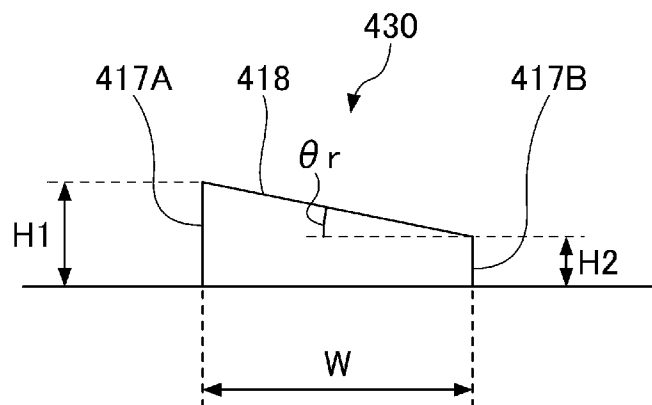
[図15]



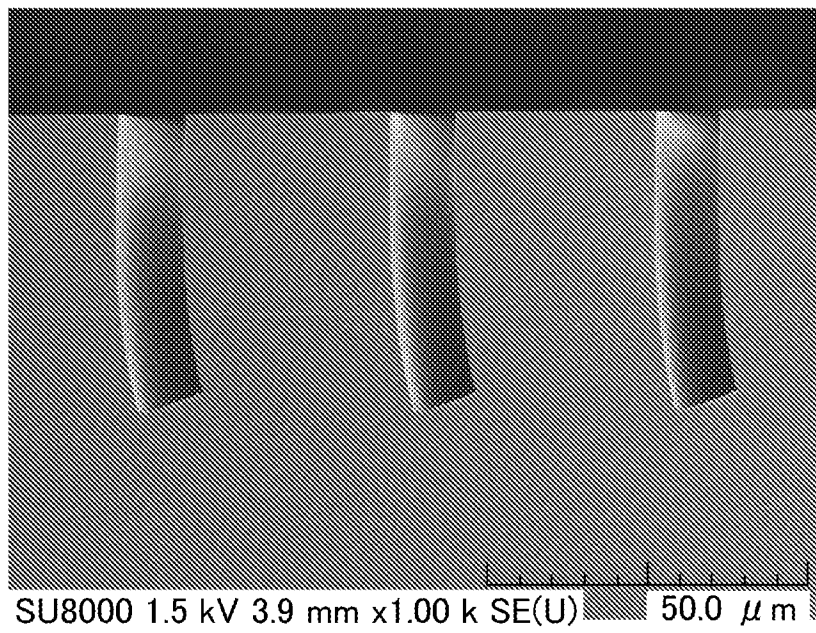
[図16]



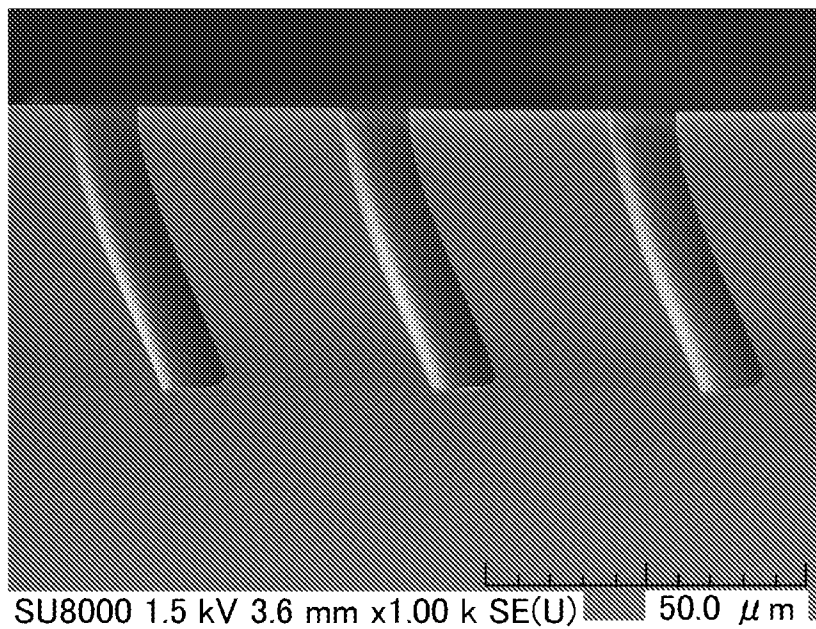
[図17]



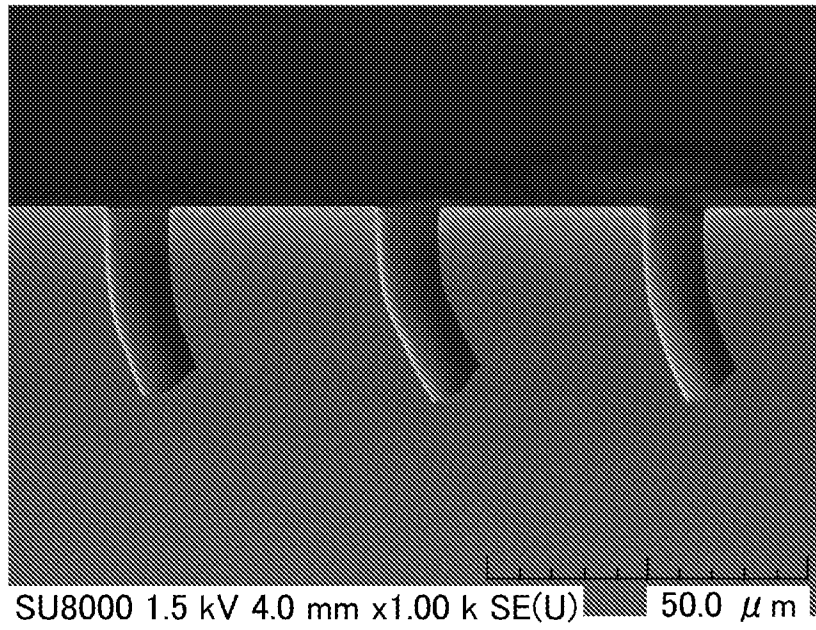
[図18]



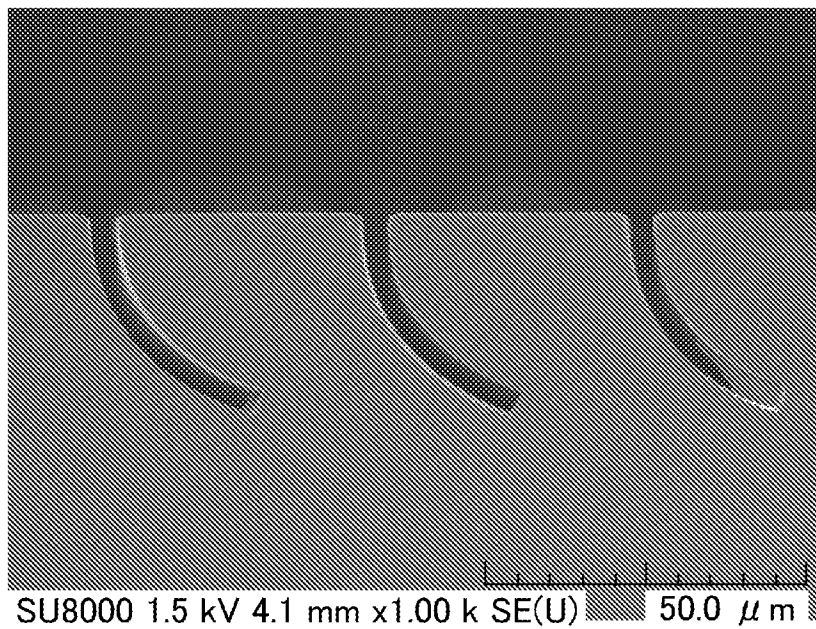
[図19]



[図20]



[図21]



INTERNATIONAL SEARCH REPORT

International application No.

PCT/JP2024/012084

A. CLASSIFICATION OF SUBJECT MATTER		
<i>H01L 21/302</i> (2006.01)i FI: H01L21/302 201A		
According to International Patent Classification (IPC) or to both national classification and IPC		
B. FIELDS SEARCHED		
Minimum documentation searched (classification system followed by classification symbols) H01L21/302		
Documentation searched other than minimum documentation to the extent that such documents are included in the fields searched Published examined utility model applications of Japan 1922-1996 Published unexamined utility model applications of Japan 1971-2024 Registered utility model specifications of Japan 1996-2024 Published registered utility model applications of Japan 1994-2024		
Electronic data base consulted during the international search (name of data base and, where practicable, search terms used)		
C. DOCUMENTS CONSIDERED TO BE RELEVANT		
Category*	Citation of document, with indication, where appropriate, of the relevant passages	Relevant to claim No.
X	JP 2014-45030 A (OSAKA UNIVERSITY) 13 March 2014 (2014-03-13) paragraphs [0019]-[0072], fig. 1-9	13-17, 19, 21-22
Y		18, 20
A		1-12
Y	JP 2022-127461 A (AGC INC.) 31 August 2022 (2022-08-31) paragraph [0033]	18, 20
A	JP 53-1198 A (INTERNATIONAL PLASMA CORP.) 07 January 1978 (1978-01-07) entire text	1-22
A	JP 55-87436 A (FUJITSU LIMITED) 02 July 1980 (1980-07-02) entire text	1-22
A	JP 2000-58508 A (SEIKO EPSON CORPORATION) 25 February 2000 (2000-02-25) entire text	1-22
<input checked="" type="checkbox"/> Further documents are listed in the continuation of Box C. <input checked="" type="checkbox"/> See patent family annex.		
* Special categories of cited documents: "A" document defining the general state of the art which is not considered to be of particular relevance "D" document cited by the applicant in the international application "E" earlier application or patent but published on or after the international filing date "L" document which may throw doubts on priority claim(s) or which is cited to establish the publication date of another citation or other special reason (as specified) "O" document referring to an oral disclosure, use, exhibition or other means "P" document published prior to the international filing date but later than the priority date claimed "T" later document published after the international filing date or priority date and not in conflict with the application but cited to understand the principle or theory underlying the invention "X" document of particular relevance; the claimed invention cannot be considered novel or cannot be considered to involve an inventive step when the document is taken alone "Y" document of particular relevance; the claimed invention cannot be considered to involve an inventive step when the document is combined with one or more other such documents, such combination being obvious to a person skilled in the art "&" document member of the same patent family		
Date of the actual completion of the international search 22 May 2024		Date of mailing of the international search report 18 June 2024
Name and mailing address of the ISA/JP Japan Patent Office (ISA/JP) 3-4-3 Kasumigaseki, Chiyoda-ku, Tokyo 100-8915 Japan		Authorized officer Telephone No.

INTERNATIONAL SEARCH REPORT
Information on patent family members

International application No.

PCT/JP2024/012084

Patent document cited in search report			Publication date (day/month/year)	Patent family member(s)	Publication date (day/month/year)
JP	2014-45030	A	13 March 2014	(Family: none)	
JP	2022-127461	A	31 August 2022	(Family: none)	
JP	53-1198	A	07 January 1978	US	4127437 A
				FR	2350937 A
				CH	614808 A
				NL	7705320 A
				IT	1083827 B
JP	55-87436	A	02 July 1980	(Family: none)	
JP	2000-58508	A	25 February 2000	(Family: none)	
WO	2006/051727	A1	18 May 2006	US	2008/0090074 A1
				TW	200620451 A

A. 発明の属する分野の分類（国際特許分類（IPC）） H01L 21/302(2006.01)i FI: H01L21/302 201A		
B. 調査を行った分野 調査を行った最小限資料（国際特許分類（IPC）） H01L21/302 最小限資料以外の資料で調査を行った分野に含まれるもの 日本国実用新案公報 1922-1996年 日本国公開実用新案公報 1971-2024年 日本国実用新案登録公報 1996-2024年 日本国登録実用新案公報 1994-2024年 国際調査で使用した電子データベース（データベースの名称、調査に使用した用語）		
C. 関連すると認められる文献		
引用文献の カテゴリー*	引用文献名 及び一部の箇所が関連するときは、その関連する箇所の表示	関連する 請求項の番号
X Y A	JP 2014-45030 A (国立大学法人大阪大学) 13.03.2014 (2014-03-13) [0019]-[0072],[図1]-[図9]	13-17,19,21-22 18,20 1-12
Y	JP 2022-127461 A (AGC株式会社) 31.08.2022 (2022-08-31) [0033]	18,20
A	JP 53-1198 A (インターナショナル・プラズマ・コーポレーション) 07.01.1978 (1978-01-07) 全文	1-22
A	JP 55-87436 A (富士通株式会社) 02.07.1980 (1980-07-02) 全文	1-22
A	JP 2000-58508 A (セイコーエプソン株式会社) 25.02.2000 (2000-02-25) 全文	1-22
<input checked="" type="checkbox"/> C欄の続きにも文献が列挙されている。 <input checked="" type="checkbox"/> パテントファミリーに関する別紙を参照。		
* 引用文献のカテゴリー “A” 特に関連のある文献ではなく、一般的技術水準を示すもの “D” 国際出願で出願人が先行技術文献として記載した文献 “E” 国際出願日前の出願または特許であるが、国際出願日以後に公表されたもの “L” 優先権主張に疑義を提起する文献又は他の文献の発行日若しくは他の特別な理由を確立するために引用する文献（理由を付す） “O” 口頭による開示、使用、展示等に言及する文献 “P” 国際出願日前で、かつ優先権の主張の基礎となる出願の日の後に公表された文献	“T” 国際出願日又は優先日後に公表された文献であって出願と抵触するものではなく、発明の原理又は理論の理解のために引用するもの “X” 特に関連のある文献であって、当該文献のみで発明の新規性又は進歩性がないと考えられるもの “Y” 特に関連のある文献であって、当該文献と他の1以上の文献との、当業者にとって自明である組合せによって進歩性がないと考えられるもの “&” 同一パテントファミリー文献	
国際調査を完了した日 22.05.2024	国際調査報告の発送日 18.06.2024	
名称及びあて先 日本国特許庁(ISA/JP) 〒100-8915 日本国 東京都千代田区霞が関三丁目4番3号	権限のある職員（特許庁審査官） 河合 俊英 50 3238 電話番号 03-3581-1101 内線 3514	

国際調査報告
 パテントファミリーに関する情報

国際出願番号

PCT/JP2024/012084

引用文献	公表日	パテントファミリー文献	公表日
JP 2014-45030 A	13.03.2014	(ファミリーなし)	
JP 2022-127461 A	31.08.2022	(ファミリーなし)	
JP 53-1198 A	07.01.1978	US 4127437 A	
		FR 2350937 A	
		CH 614808 A	
		NL 7705320 A	
		IT 1083827 B	
JP 55-87436 A	02.07.1980	(ファミリーなし)	
JP 2000-58508 A	25.02.2000	(ファミリーなし)	
WO 2006/051727 A1	18.05.2006	US 2008/0090074 A1	
		TW 200620451 A	